

Univerzita Komenského, Bratislava  
Fakulta matematiky, fyziky a informatiky

# Párenia v súčinoch grafov

Diplomová práca

2014

Bc. Dominik Zajíček

Univerzita Komenského, Bratislava  
Fakulta matematiky, fyziky a informatiky

**Párenia v súčinoch grafov**  
Diplomová práca

Študijný program: Informatika  
Študijný odbor: 2805 Informatika  
Školiace pracovisko: Katedra Informatiky FMFI  
Školiteľ: Mgr. Michal Kotrbčík Ph. D.

2014  
Bc. Dominik Zajíček



Univerzita Komenského v Bratislave  
Fakulta matematiky, fyziky a informatiky

---

## ZADANIE ZÁVEREČNEJ PRÁCE

**Meno a priezvisko študenta:** Bc. Dominik Zajíček  
**Študijný program:** informatika (Jednoodborové štúdium, magisterský II. st., denná forma)  
**Študijný odbor:** 9.2.1. informatika  
**Typ záverečnej práce:** diplomová  
**Jazyk záverečnej práce:** slovenský

**Názov:** Párenia v súčinoch grafov.

**Cieľ:** Cieľom práce je priniesť nové výsledky v oblasti veľkosti a štruktúry najväčšieho párenia v súčinoch grafov.

**Vedúci:** Mgr. Michal Kotrbčík  
**Katedra:** FMFI.KI - Katedra informatiky  
**Vedúci katedry:** doc. RNDr. Daniel Olejár, PhD.  
**Dátum zadania:** 16.10.2012

**Dátum schválenia:** 18.10.2012

prof. RNDr. Branislav Rován, PhD.  
garant študijného programu

.....  
študent

.....  
vedúci práce

## Abstrakt

Predložená práca sa zaoberá vlastnosťami najväčších párení grafov, konkrétne equimatchable grafmi. Hlavným cieľom práce je klasifikácia všetkých equimatchable grafov v dvoch konkrétnych triedach a to regulárnych grafov a tenzorových súčinov.

V oblasti regulárnych equimatchable grafov sme ukázali, že ak  $G$  je  $k$ -regulárny equimatchable graf pre  $k$  nepárne, tak je izomorfný s  $K_{k+1}$ , alebo  $K_{k,k}$ . Ďalej sme ukázali, že ak je stupeň regularity  $k$  párny, tak graf  $G$  je izomorfný s  $K_{k+1}$ ,  $K_{k,k}$ , alebo je faktorovo-kritický. Navyše dokazujeme, že  $k$ -regulárnych equimatchable grafov pre pevne zvolené  $k$  je iba konečne veľa. Práca sa ďalej zameriava na 4-regulárne equimatchable grafy, kde sa nám podarilo charakterizovať všetky 3-súvislé 4-regulárne equimatchable grafy okrem prípadu, keď má 11, alebo 13 vrcholov a neobsahuje netriviálny 4-rez.

V prípade tenzorových súčinov sme ukázali, že neexistuje netriviálny súvislý tenzorový súčin s obvodom aspoň 5. Na druhej strane, existuje nekonečne veľa netriviálnych equimatchable tenzorových súčinov.

**Kľúčové slová:** graf, párenie, equimatchable, tenzorový súčin grafov

## Abstract

This thesis investigates properties of maximum matchings in graphs, specifically equimatchable graphs.

For regular equimatchable graphs we showed, that if  $G$  is  $k$ -connected regular equimatchable graph for odd  $k$ , then  $G$  is either isomorphic to  $K_{k+1}$ , or  $K_{k,k}$ . Further we show, that even degree regular graphs are either isomorphic to  $K_{k+1}$ ,  $K_{k,k}$ , or  $G$  is factor-critical. We show, that there are finitely many  $k$ -regular equimatchable graphs for given  $k$ . We characterize 3-connected 4-regular equimatchable graphs except for cases when  $G$  has 11 or 13 vertices and does not contain a non-trivial 4-cut.

In case of tensor products we show, that there are none non-trivial tensor products with girth at least 5. On the other hand, there are infinitely many non-trivial equimatchable tensor products.

**Keywords:** graph, matching, equimatchable, tensor product of graphs

## Čestné prehlásenie

Čestne prehlasujem, že som túto prácu vypracoval samostatne s použitím uvedených zdrojov.

Bratislava, 5.5.2014

---

Dominik Zajček

## **Pod'akovanie**

Ďakujem môjmu školiteľovi Mgr. Michalovi Kotrbčíkovi Ph.D. za poskytnutú literatúru, odborné vedenie a trpezlivosť.

# Obsah

Úvod	1
<b>1 Úvod do problematiky</b>	<b>2</b>
1.1 Párenia	2
1.2 Edmonds-Gallaiova dekompozícia	3
1.3 Equimatchable faktorovo kritické grafy	3
<b>2 Equimatchable regulárne grafy</b>	<b>5</b>
2.1 (D,A,C)-dekompozícia equimatchable grafov	5
2.2 Regulárne equimatchable grafy	7
2.3 4-regulárne equimatchable faktorovo kritické grafy	10
<b>3 Equimatchable tenzorové súčiny</b>	<b>32</b>
3.1 Základné vlastnosti tenzorových súčinov	32
3.2 Párenia v tenzorových súčinoch	33
3.3 Tenzorové súčiny s obvodom aspoň 5	34
<b>Záver</b>	<b>39</b>



# Úvod

Táto diplomová práca sa zaoberá equimatchable grafmi a to konkrétne v triede regulárnych grafov a v triede tenzorových súčinov. Equimatchable grafy sú presne tie, v ktorých každé maximálne párenie je najväčšie.

Trieda equimatchable grafov bola prvýkrát uvažovaná v [Grü74], [Lew74] a [Men74]. Konkrétne [Grü74] vyslovuje problém charakterizácie všetkých equimatchable grafov. Najskôr boli charakterizované equimatchable grafy s perfektným párením [Sum79], tiež nazývané “randomly matchable”, ktoré sú buď izomorfné s  $K_{2n}$ , alebo  $K_{n,n}$ , pre nejaké  $n$ . Equimatchable grafy, ktoré nie sú faktorovo kritické a nemajú perfektné párenie, sú presne charakterizované s využitím Edmonds-Gallaiovej dekompozície v [LPP84]. Z tejto charakterizácie vyplýva, že 2-súvislé equimatchable grafy bez perfektného párenia sú buď bipartitné, alebo faktorovo-kritické. V [Fav86] sú charakterizované equimatchable grafy s artikuláciou a 2-rezom. Existujú práve dva súvislé 3-regulárne equimatchable grafy [KPS03], konkrétne  $K_4$  a  $K_{3,3}$ . Oblasť párení je spracovaná v [LP86] a monografii [LY09]. V našej práci ďalej skúmame regulárne equimatchable grafy. Charakterizujeme všetky nepárno-regulárne equimatchable grafy a pre párno-regulárne equimatchable grafy ukážeme, že buď majú perfektné párenie, alebo sú faktorovo kritické. Záverečnú časť druhej kapitoly venujeme charakterizácii 4-regulárnych equimatchable grafov.

Publikácie [AG90] a [HIK11] tvoria základ pre skúmanie párení v súčinoch. V [Kov12] je ukázané, že jediný súvislý equimatchable graf, ktorý dostaneme kartézskym súčinom je  $K_2 \square K_2$ . Dôsledkom výsledku z [WYY12] je, že karteziánsky súčin dvoch faktorovo-kritických grafov je tiež faktorovo-kritický. Z [FHV10] poznáme presnú charakterizáciu všetkých equimatchable grafov s obvodom aspoň 5. V tejto práci sa venujeme tenzorovým súčinom grafov, konkrétne otázke, či existuje equimatchable tenzorový súčin grafov. Ukážeme, že neexistuje súvislý netriviálny tenzorový súčin s obvodom aspoň 5. Na druhej strane, existuje nekonečne veľa equimatchable tenzorových súčinov.

# Kapitola 1

## Úvod do problematiky

V celej práci pracujeme s jednoduchými grafmi bez slučiek, pokiaľ nie je povedané inak.

**Definícia 1.1.** Graf  $G$  je usporiadaná dvojica  $(V, E)$ , kde konečná množina  $V$  je množina vrcholov a  $E \subseteq \{\{u, v\} | u, v \in V, u \neq v\}$  je množina hrán spájajúcich rôzne vrcholy.

Používa sa označenie  $V(G)$  pre množinu vrcholov a  $E(G)$  pre množinu hrán grafu  $G$ . Zaviedlo sa aj použitie  $|G|$  namiesto  $|V(G)|$ . Hranu  $\{u, v\}$  označíme jednoducho  $uv$ . Množinu vrcholov incidentných s vrcholom  $v$  budeme označovať  $N(v)$  a obvodom grafu  $G$  budeme nazývať veľkosť najmenšieho cyklu v grafe. Ak je  $G$  acyklický graf, definujeme odvod ako nekonečno. Navyše pod pojmom singleton graf alebo singleton komponent budeme rozumieť graf pozostávajúci z jediného vrcholu, respektíve izolovaný vrchol. Za netriviálne grafy budeme považovať grafy, ktoré obsahujú aspoň jednu hranu.

### 1.1 Párenia

**Definícia 1.2.** Množinu hrán nazveme nezávislou vtedy ak žiadne dve hrany z tejto množiny nemajú spoločný vrchol.

**Definícia 1.3.** Párenie (matching) je množina nezávislých hrán.

**Definícia 1.4.** Perfektné párenie je párenie pokrývajúce všetky vrcholy.

Z tejto definície je zrejmé, že perfektné párenie majú len grafy na párnom počte vrcholov.

**Definícia 1.5.** Párenie  $M$  v grafe  $G$  s vlastnosťou, že vrchol  $v$  je v grafe  $G - M$  izolovaný sa nazýva *izolujúce párenie vrcholu  $v$* .

**Veta 1.6.** [KPS03] Ak  $G$  je súvislý kubický equimatchable graf, tak je izomorfný buď s  $K_{3,3}$ , alebo  $K_4$ .

## 1.2 Edmonds-Gallaiova dekompozícia

**Definícia 1.7.** Pre graf  $G$  definujeme  $D(G)$  ako množinu všetkých tých vrcholov grafu, ktoré sú nepokryté aspoň jedným najväčším párením. Ďalej, nech  $A(G)$  je množina takých vrcholov z  $V(G) - D(G)$ , ktoré susedia aspoň s jedným vrcholom z  $D(G)$ . A nakoniec  $C(G)$  sú zvyšné vrcholy. Takto definované množiny označujeme ako (D,A,C)-dekompozícia grafu  $G$ .

## 1.3 Equimatchable faktorovo kritické grafy

Nasledujú vety a lemy, ktoré sú v ďalšom texte často používané. Dávajú totiž v mnohých ohľadoch silné nutné podmienky na equimatchable faktorovo kritické grafy.

**Veta 1.8.** [EK13] Nech  $G$  je 2-súvislý, equimatchable faktorovo kritický graf. Nech  $v$  je vrchol  $G$  a  $M_v$  nech je najmenšie izolujúce párenie vrcholu  $v$ . Potom graf  $G - (V(M_v) \cup \{v\})$  je izomorfný s  $K_{2n}$  alebo  $K_{n,n}$  pre nejaké nezáporné celé číslo  $n$ .

**Lema 1.9.** [Eib14] Nech  $k \geq 3$  a nech  $G$  je  $k$ -súvislý faktorovo kritický equimatchable graf s aspoň  $2k + 3$  vrcholmi a  $k$ -rezom  $S$ . Potom  $G - S$  má presne dva komponenty.

**Veta 1.10.** [Eib14] Nech  $G$  je  $k$ -súvislý, equimatchable faktorovo kritický graf s  $k$ -vrcholovým-rezom  $S$ , kde  $k \geq 3$ . Ak  $C$  je komponent  $G - S$  s aspoň 3 vrcholmi, a  $G - (S \cup C)$  má aspoň 3 vrcholy, potom  $G - S$  má presne dva komponenty a oba sú kompletne grafy.

**Lema 1.11.** [Eib14] Nech  $G$  je graf s vrcholovou súvislosťou  $k$  a s  $k$ -rezom  $S$ . Nech  $H$  je komponent grafu  $G - S$ . Potom pre ľubovoľnú množinu vrcholov  $X \subseteq S$  obsahuje graf  $G$  aspoň  $\min(|H|, |X|)$  nezávislých hrán medzi  $H$  a  $X$ .

**Veta 1.12.** [Eib14] Nech  $G$  je  $k$ -súvislý equimatchable faktorovo kritický graf s  $k$ -rezom  $S$ . Predpokladajme, že  $G - S$  má nejaký komponent  $C$  veľkosti aspoň  $k$  a  $G - (S \cup C)$  má nejaký komponent pozostávajúci z jediného vrcholu. Potom  $G - S$  má presne dva komponenty a existuje párenie  $M$  medzi  $S$  a  $C$ , pokrývajúce všetky vrcholy  $S$ . Navyše graf  $C - V(M)$  je izomorfný s  $K_{2n}$ , alebo  $K_{n,n}$  pre nejaké celé číslo  $n$ .

**Veta 1.13.** [Eib14] Nech  $G$  je  $k$ -súvislý, equimatchable faktorovo kritický graf s  $k$ -rezom  $S$ . Predpokladajme, že  $G - S$  má komponent  $C$  s aspoň  $k$  vrcholmi a  $G - (S \cup C)$  má komponent pozostávajúci presne z dvoch vrcholov. Ak  $S$  obsahuje hranu, tak  $C$  je kompletný graf. Ak  $S$  neobsahuje hranu, tak existuje nezáporné celé číslo  $m$  a množiny  $\{x_1, \dots, x_m\}$  vrcholov z  $C$  a  $\{y_1, \dots, y_m\}$  vrcholov z  $S$  takých, že  $x_i y_i$  nie je hrana v  $G$  pre každé  $i \in \{1, \dots, m\}$  a  $C \cup S \cup \{x_1 y_1, \dots, x_m y_m\}$  je izomorfný s  $K_{n, n+1}$  pre nejaké  $n$ .

# Kapitola 2

## Equimatchable regulárne grafy

V tejto kapitole sa zaoberáme otázkou, ktoré regulárne grafy sú equimatchable. Na úvod podrobne rozoberieme charakterizáciu equimatchable grafov pomocou Edmonds-Gallaiovej dekompozície z [LPP84]. Pomocou tohto výsledku ukážeme, že súvislý  $k$ -regulárny equimatchable graf  $G$  je buď  $K_{k+1}$ ,  $K_{k,k}$ , alebo  $k$  je párne a  $G$  je faktorovo kritický, zovšeobecňujúc tak výsledky pre  $k = 3$  z [KPS03]. V poslednej časti kapitoly charakterizujeme takmer všetky 4-regulárne grafy.

### 2.1 (D,A,C)-dekompozícia equimatchable grafov

Nasledujúca veta charakterizuje equimatchable grafy bez perfektného párenia pomocou štruktúr v Edmonds-Gallaiovej dekompozícii grafu.

**Veta 2.1.** [LPP84] Nech  $G$  je súvislý equimatchable graf, ktorý neobsahuje perfektné párenie. Nech  $(D,A,C)$  je Edmonds-Gallaiova dekompozícia grafu  $G$  a nech  $A \neq \emptyset$ .

1. Potom pre každý komponent  $D_i$  podgrafu  $G$  indukovaného na  $D$  nastáva jedna z nasledujúcich možností:
  - (i)  $D_i \cong K_{2n-1}$  pre nejaké  $n \geq 2$ , a každý vrchol z  $D_i$  susedí s práve jedným spoločným vrcholom  $a \in A$ .
  - (ii)  $D_i$  obsahuje artikuláciu  $d_i$  v  $G$ , pričom  $d_i$  je jediný vrchol z  $D_i$  spojený s vrcholmi z množiny  $A$ . Nech  $H_i^1, \dots, H_i^r$  pre nejaké  $r \geq 1$  sú komponenty

grafu  $D_i - d_i$ . Potom pre každé  $j$ ,  $1 \leq j \leq r$ , buď  $H_i^j \cong K_{2m}$  pre  $m \geq 1$  a aspoň dve hrany spájajú  $H_i^j$  s  $d_i$ , alebo  $H_i^j \cong K_{m,m}$ , pre nejaké  $m \geq 1$ , a ak  $U, V$  je bipartícia tohto grafu, potom aspoň jedna hrana spája  $d_i$  s vrcholom z  $U$  a aspoň jedna hrana spája  $d_i$  s vrcholom z  $V$ .

(iii) Aspoň dva vrcholy z  $D_i$  sú spojené s vrcholmi z  $A$  a aspoň jeden vrchol z  $D_i$  nie je spojený zo žiadnym vrcholom z  $A$ . V tomto prípade existuje vrchol  $a \in A$  taký, že oddeľuje  $D_i$  od  $G$ . Ak  $D_i$  obsahuje práve dva vrcholy  $y_1$  a  $y_2$  spojené s vrcholom  $a$ , potom  $D_i$  musí byť jedného z nasledujúcich troch typov:

- (a)  $D_i$  je  $K_3$ ;
- (b)  $D_i - \{y_1, y_2\}$  je kompletný bipartitný graf  $K_{r,r-1}$ , kde  $r \geq 2$ , a ak  $(U, V)$  je jeho bipartícia, kde  $|U| = r$ , potom  $y_1$  a  $y_2$  sú oba susedné s každým vrcholom v  $U$  a aj navzájom;
- (c)  $D_i - \{y_1, y_2\}$  je  $K_{2r-1}$ , pre  $r \geq 2$ ,  $y_1$  a  $y_2$  sú spojené s každým vrcholom v  $D_i - \{y_1, y_2\}$  a  $y_1$  s  $y_2$  môžu (ale nemusia) byť spojené. Ak  $D_i$  má aspoň 3 a najviac  $|V(D_i)| - 1$  vrcholov spojených s  $a$ , potom  $D_i$  je  $K_{2m-1}$  pre nejaké  $m \geq 3$ .

Poslednou možnosťou (d) je ak  $D_i$  má aspoň 3 a najviac  $|V(D_i)| - 1$  vrcholov spojených s  $a$ , potom  $D_i$  je  $K_{2m-1}$  pre nejaké  $m \geq 3$ .

Komponenty  $D_i$ , pre ktoré nastáva prípad (i), (ii), resp. (iii) nazývame komponenty typu I, II, resp. III.

2. Odoberme z grafu  $G$  všetky komponenty  $D_i$  typu II a typu III, a každý komponent typu I skontrahujeme do jedného vrcholu. Potom existuje párenie vo výslednom bipartitnom grafe  $G'_I$ , ktoré pokrýva všetky vrcholy z  $A$  a graf  $G'_I$  je equimatchable.

S využitím tejto charakterizácie equimatchable grafov dokážeme nasledujúce vlastnosti regulárnych equimatchable grafov.

**Tvrdenie 2.2.** *Nech  $G$  je jednoduchý súvislý equimatchable graf, nech  $(D, A, C)$  je jeho dekompozícia a  $c(D)$  označuje počet komponentov podgrafu indukovaného  $D$ . Potom  $G$  má všetky nasledujúce vlastnosti.*

- (i)  $C = \emptyset$

- (ii)  $A$  je nezávislá množina
- (iii) Ak  $G$  nemá perfektné párenie, tak  $c(D) \geq |A| + 1$
- (iv) Ak  $G$  je  $k$ -regulárny bez perfektného párenia pre nejaké nepárne  $k$ , tak  $c(D) \geq |A| + 2$

**Dôkaz.** (i) Predpokladajme pre spor, že  $C$  je neprázdna, a keďže graf je súvislý, existujú vrcholy  $a \in A$  a  $c \in C$  také, že medzi nimi vedie hrana  $ac$ . Každé najväčšie párenie pokrýva celú množinu  $A$  hranami do rôznych komponentov  $D$  [LP86]. Párenie  $M$ , ktoré obsahuje hranu  $ac$  sa nedá rozšíriť na najväčšie, a teda  $G$  nemohol byť equimatchable.

- (ii) Podobne ako v predchádzajúcom prípade predpokladajme pre spor, že  $A$  nie je nezávislá. Teda máme hranu  $uv$  medzi dvoma vrcholmi množiny  $A$ . Z podobného dôvodu ako predchádzajúci prípad toto nemôže nastať.
- (iii) Z vlastností dekompozície (časť (d) [LP86]) vieme, že každé najväčšie párenie pokrýva množinu  $A$  hranami do  $|A|$  rôznych komponentov množiny  $D$ . To sa dá zapísať ako  $c(D) \geq |A|$ . Ak v grafe platí rovnosť  $c(D) = |A|$ , tak má perfektné párenie, preto platí  $c(D) \geq |A| + 1$ .
- (iv) Číslo  $k$  je nepárne, preto  $|V(G)|$  je párne. Vieme, že  $c(D) \geq |A| + 1$ , ale ak  $c(D) = |A| + 1$ , tak  $G$  má nepárny počet vrcholov, čo je spor s voľbou  $k$ . Preto platí, že  $c(D) \geq |A| + 2$ .

□

## 2.2 Regulárne equimatchable grafy

V tejto sekcii dokážeme úplnú charakterizáciu  $k$ -regulárnych equimatchable grafov pre nepárne  $k$  a ukážeme, že pre párne  $k$  je  $k$ -regulárny equimatchable graf buď  $K_{k+1}$ ,  $K_{k,k}$ , alebo je faktorovo kritický.

Pripomíname, že podľa charakterizácie kubických equimatchable grafov vo vete 1.6 [KPS03] na strane 3 sú takýmito grafmi jedine  $K_{3,3}$  a  $K_4$ .

**Veta 2.3.** Nech  $G$  je súvislý  $k$ -regulárny equimatchable graf. Ak  $k$  je nepárne, tak  $G$  je izomorfný buď s  $K_{k,k}$ , alebo  $K_{k+1}$ . Ak  $k$  je párne, tak  $G$  je izomorfný buď s  $K_{k,k}$ ,  $K_{k+1}$ , alebo je faktorovo kritický.

**Dôkaz.** Predpokladajme najprv, že  $G$  má perfektné párenie. Podľa [Sum79] sú jediné equimatchable grafy s perfektným párením  $K_{2n}$  a  $K_{n,n}$ . Ak  $k$  je párne, tak existuje jediný equimatchable graf s perfektným párením a to  $K_{k,k}$ . Pre  $k$ , požadovaný stupeň regularity, existuje jediný equimatchable graf s perfektným párením, a to  $K_{k,k}$ . Ak je  $k$  nepárne, tak jedinými  $k$ -regulárnymi grafmi s perfektným párením sú  $K_{2n}$  a  $K_{k+1}$ . Vo zvyšnej časti dôkazu budeme predpokladať, že  $G$  nemá perfektné párenie a rozoberieme jednotlivé potenciálne typy komponentov grafu  $G$  na základe charakterizácie vety 2.1.

Ak je  $k$  nepárne, tak  $G$  musí mať párny počet vrcholov, teda nie je faktorovo kritický, čím splňa predpoklad vety 2.1, že  $A \neq \emptyset$ . Teraz ukážeme nasledovné pomocné tvrdenie.

(\*) V  $G$  nemôže nastať, že by pre  $a \in A$ , všetkých  $k$  hrán viedlo do jedného komponentu.

Pre dôkaz (\*) pre spor predpokladajme, že všetkých  $k$  hrán z  $a$  vedie do jedného komponentu. Keďže  $c(D) \geq |A| + 1$ , v  $D$  je ešte aspoň jeden komponent, a keďže  $C = \emptyset$  a  $A$  je nezávislá množina, tak  $G$  je nesúvislý, čo je spor. Tým je dôkaz (\*) skončený.

Postupne overíme existenciu jednotlivých typov komponentov, ktoré sú popísané vo vete 2.1 na strane 5. Jednotlivé komponenty budeme označovať ako  $D_i$ .

Typ I. Jedná sa o podgraf  $K_{2m+1}$  úplne pripojený na jediný vrchol  $a \in A$ .

Označme  $l$  možný počet vrcholov hľadaného kompletneho grafu. Ľahko vidieť, že ak má byť graf regulárny, musí ísť hrana z  $a$  do každého vrcholu komponentu. Možnosť, že by všetkých  $k$  hrán z vrcholu  $a$  smerovalo do jedného komponentu v  $D$  sme vylúčili (\*). Takže  $l \leq k - 1$ . Nech  $v \in D_i$ , potom  $\deg(v) = l - 1 + 1 \leq k - 1$ . Z toho vyplýva, že  $G$  nie je  $k$ -regulárny graf, čo je v spore s predpokladom.

Typ II. Pojednáva o situácii, kedy  $D_i$  obsahuje artikuláciu  $d_i$ , ktorá je zároveň jediným vrcholom komponentu susediacim s vrcholmi v  $A$ . Vrchol  $d_i$  je spojený aspoň jednou hranou s  $A$ , teda počet hrán smerujúcich z  $d_i$  do  $D_i$  je najviac  $k - 1$ .

(a) Na  $d_i$  je pripojený  $K_{2m}$ . Počet vrcholov kompletneho podgrafu je najviac  $k - 1$ . Vrcholy v tomto kompletnom podgrafe nadobúdajú stupeň buď



$k - 2$ , alebo  $k - 1$ , čo je v oboch prípadoch menej ako požadovaný stupeň  $k$ . Takýto typ komponentu teda tiež nevyhovuje našim požiadavkam.

- (b) Na  $d_i$  je pripojený  $K_{m,m}$ , pričom do každej partície ide aspoň jedna hrana z  $d_i$ . To znamená, že najväčší možný počet hrán z  $d_i$  do jednej partície je  $k - 2$ . Teraz sa pozrime na vrchol  $v$  v jednej z partícií. Susedmi vrcholu  $v$  sú  $d_i$  a všetky vrcholy druhej partície. Teda v tej druhej partícii musí byť aspoň  $k - 1$  vrcholov, lenže najväčší možný počet hrán do jednej partície je  $k - 2$ , teda v tejto partícii existujú dva vrcholy rôzneho stupňa, čo je v spore s regularitou grafu.

- Typ III. (a) Nie je regulárny. Z vety 2.1 v časti (iii) vieme, že v  $D_i$  sa nachádza vrchol  $z$ , ktorý nesusedí so žiadnym vrcholom z  $A$  a so súvislosti grafu sa tam nachádza aj vrchol  $y$ , ktorý susedí s vrcholom v  $A$ , a tieto dva vrcholy majú rôzny stupeň.
- (b) Predpokladajme, že existuje komponent vyhovujúci tomuto popisu. Potom  $\deg(y_i) = 2 + |U|$ , teda  $|U| = k - 2$ . Majme vrchol  $w \in W$ . A keďže  $\deg(w) = k - 2$ , tento komponent nie je regulárny.
- (c) (i) medzi  $y_1$  a  $y_2$  nie je hrana.  $2r - 1 = k - 1$ , teda  $k$  je párne. Vezmime teraz vrchol  $x$  z  $K_{2r-1}$ .  $\deg(x) \leq 2r - 2 + 2 \leq k$ . Teda za predpokladu, že  $k$  je párne môže existovať komponent, ktorý patrí do tejto kategórie.
- (ii) medzi  $y_1$  a  $y_2$  je hrana. Podobnými úvahami sa ukáže, že  $\deg(x) \leq k - 1$ . Teda tento typ nevyhovuje.
- (d) Celá časť (iii) hovorí o štruktúrach, kde existuje aspoň jeden vrchol  $x$ , ktorý nesusedí s  $A$ . V  $D_i$  kvôli súvislosti existuje aj vrchol  $v$ , ktorý susedí s  $A$ . Vrchol  $v$  má o jednu incidentnú hranu oproti  $x$  navyše. Komponent tohto typu nemôže byť regulárny.

Pre jednoduché  $k$ -regulárne equimatchable grafy sú teda prípustnými komponentami v  $D$  jedine singletony a komponenty typu III(c), aj to len pre párne  $k$ .

Pre nepárne  $k$  sporom ukážeme, že takýto graf neexistuje. Predpokladajme, že existuje  $k$ -regulárny súvislý equimatchable graf. Tento graf obsahuje ako komponenty  $D$  jedine singleton grafy, teda podľa časti (2) vety 2.1 musí byť bipartitný. Vieme, že  $c(D) > |A|$ , lenže regulárny bipartitný graf má rovnako veľké partície, čo je spor.

Teraz sporom ukážeme, že pre párne  $k$  je graf  $G$  faktorovo kritický. Predpokladajme, že  $G$  nie je faktorovo kritický, teda  $A \neq \emptyset$  a označme  $s$  počet singleton komponentov

v  $D$ . Premennou  $c$  označme počet komponentov typu III(c). Porovnaním počtu hrán vychádzajúcich z  $A$  a  $D$  dostaneme, že  $k|A| = 2c + ks$ . Okrem toho z druhej časti vety 2.1 vieme, že  $|A| \leq \frac{1}{2}|V(G'_I)|$ , ale keďže  $G'_I$  obsahuje len vrcholy množiny  $A$  a vrcholy prislúchajúce singleton grafom, tak  $s \geq |A|$ . Z toho ale vyplýva

$$k|A| = 2c + ks \geq 2c + k|A| \implies 0 \geq 2c \implies c = 0$$

Teda náš graf  $G$  neobsahuje žiadne komponenty typu III(c), čiže je bipartitný, ale  $s = c(D) > |A|$ , teda tento graf nemá rovnako veľké partície, čo je v spore s predpokladom, že bol regulárny. □

**Veta 2.4.** Nech  $G$  je  $k$  regulárny súvislý equimatchable faktorovo kritický graf. Potom  $|V(G)| \leq 4r - 1$ .

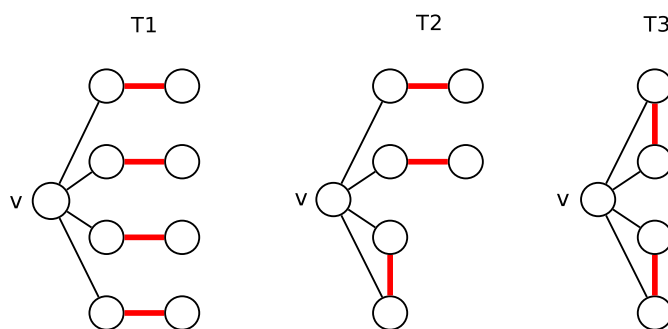
**Dôkaz.** Nech  $v$  je vrchol grafu  $G$  a nech  $M$  je izolujúce párenie vrcholu  $v$ . Ďalej nech nech  $A = V(M) \cup \{v\}$  a nech  $B = G - A$ . Z vety 1.8 vieme, že  $B$  je buď  $K_m$ , alebo  $K_{m,m}$ . Pozrime sa najvyšší možný počet vrcholov v grafe  $G$ . Najväčší možný počet vrcholov v  $A$  je  $2k + 1$  a to v situácii, kedy za  $M$  vezmeme párenie veľkosti  $k$ . Teraz ukážeme, že najväčší možný počet vrcholov v  $B$  je  $2(k - 1)$ . Graf je súvislý, takže potrebujeme stupne vrcholov najviac  $k - 1$ , pretože podgraf  $G$  indukovaný na  $B$  je regulárny a ak by mali jeho vrcholy stupeň aspoň  $k$ , tak  $B$  by tvoril komponent súvislosti. Ďalej ak  $B$  je  $K_m$  pre nejaké  $m$ , tak najväčší vyhovujúci graf je  $K_k$  s  $k$  vrcholmi. Ak  $B$  je  $K_{m,m}$  pre nejaké  $m$ , tak najväčšie vyhovujúce  $m$  je  $k - 1$ , čo zodpovedá grafu  $K_{k-1,k-1}$ , ktorý má  $2(k - 1)$  vrcholov. Spolu teda dostávame, že  $G$  má najviac  $4r - 1$  vrcholov. □

### 2.3 4-regulárne equimatchable faktorovo kritické grafy

S využitím tvrdení čiastočne charakterizujúcich equimatchable faktorovo kritické grafy, ktoré sú  $k$ -súvislé a majú  $k$ -rez (pozri stranu 3), charakterizujeme všetky 4-regulárne equimatchable faktorovo kritické grafy.

**Lema 2.5.** Nech  $M$  je maximálne párenie 4-regulárneho grafu  $G$ . Potom párenie  $M$  pozostáva aspoň z 3 hrán.

**Dôkaz.** Predpokladajme, že veľkosť  $M$  je najviac dva. Z toho vyplýva, že existuje nezávislá množina vrcholov  $X \subseteq V(G)$ , ktorá má aspoň 5 vrcholov. Je ľahko vidieť, že



Obr. 2.1: Typy najmenšieho izolujúceho párenia v 4-regulárnom grafe

z  $X$  vychádza aspoň 20 hrán, ale  $G$  má iba 18 hrán (z regularity), takže veľkosť  $M$  je aspoň tri.  $\square$

Netriviálnym rezom  $S$  v nasledujúcej vete označujeme rez grafu  $G$  taký, že žiaden komponent  $G - S$  nie je izolovaný vrchol.

**Veta 2.6.** Nech  $G$  je 3-súvislý 4-regulárny equimatchable faktorovo kritický graf. Potom  $G$  je buď jeden z grafov na obrázkoch 2.41 a 2.42, alebo 4-súvislý graf na 11, alebo 13 vrchoch, ktorý neobsahuje netriviálny rez.

**Dôkaz.** Vo všeobecnosti vieme, že každý  $r$ -regulárny graf má aspoň  $r + 1$  vrcholov. Z tohoto a z vety 2.4 vyplýva, že  $r + 1 = 5 \leq |G| \leq 15$ . Faktorovo kritické grafy majú nepárne počty vrcholov, takže budeme skúmať grafy rádu 5, 7, 9, 11, 13 a 15.

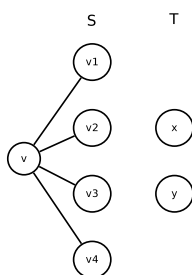
### Grafy rádu 5.

Jediný 4-regulárny graf na piatich vrchoch je  $K_5$ . Ľahko vidno, že  $K_5$  je equimatchable a faktorovo kritický.

Vo zvyšku dôkazu budeme stále uvažovať ľubovoľný, ale pevne zvolený vrchol  $v$  taký, že jeho najmenšie izolujúce párenie má najmenšiu veľkosť spomedzi všetkých párení izolujúcich niektorý vrchol grafu  $G$ . Symbolom  $M$  budeme označovať ľubovoľne, ale pevne zvolené minimálne izolujúce párenie vrcholu  $v$ .

Používame označenie možných typov izolácií párení ako je na obrázku 2.1. Ďalej označme  $S = N(v)$  a  $T = G - S - \{v\}$ .

### Grafy rádu 7.



Obr. 2.2: Označenie vrcholov v prípade grafu so 7 vrcholmi

Nech  $v$  je vrchol grafu  $G$  a  $v_1, v_2, v_3$  a  $v_4$  sú jeho susedia v  $G$ . Susedov vrcholu  $v$  budeme označovať ako  $S$ . Zvyšné dva vrcholy označme  $x$  a  $y$ .

Zrejme graf na siedmych vrchoch nemôže mať T1 ako minimálne izolujúce párenie, a preto nám stačí rozlíšiť nasledovné dva prípady.

#### Grafy rádu 7 s najmenším izolujúcim párením typu T2.

Najmenšie izolujúce párenie vrcholu  $v$  je typu T2, teda bez ujmy na všeobecnosti môžeme predpokladať, že  $G$  obsahuje hrany  $v_1x$  a  $v_2y$ . Predpokladajme pre spor, že vrcholy  $x$  a  $y$  nesusedia. Z celkového počtu hrán v grafe dostaneme, že počet vnútorných hrán v  $S$  je dva, okrem toho (z predpokladu, že  $M$  je typu T2) vieme, že v  $S$  nie sú dve nezávislé hrany. Preto v  $S$  existuje vrchol  $u$ , ktorý susedí s  $v$  a dvoma ďalšími vrcholmi z  $S$ . Keďže ak  $x$  a  $y$  nie sú spojené hranou, tak sú susedné so všetkými vrcholmi v  $S$ . Teda v tomto prípade  $x$  aj  $y$  sú susedné s  $u$ , ktorého stupeň je 5, čo je v spore s regularitou grafu. Takže vieme, že  $x$  a  $y$  sú spojené hranou. Z celkového počtu hrán v  $G$ , ktorý je 14, vieme, že v  $S$  sú tri hrany. Vieme, že jedna je  $v_3v_4$ . Bez ujmy na všeobecnosti predpokladajme, že druhá hrana je  $v_2v_3$ . Tretia hrana môže byť buď  $v_2v_4$  alebo  $v_1v_3$ . V prvom prípade vrchol  $v_1$ , ktorý susedí s  $v$  môže susediť už len s  $x$  a  $y$ , čo nestačí na stupeň 4. V prípade, že tretou hranou v  $S$  je  $v_1v_3$  je už graf  $G$  jednoznačne určený (zo 4-regularity). Vo výslednom grafe je  $M' = \{vv_3, xy\}$  párenie izolujúce vrchol  $v_4$  a  $G - v_4 - M'$  pozostáva z dvoch nesusedných vrcholov. Na druhej strane, podľa vety 1.8,  $G - v_4 - M'$  je súvislý graf, čo je spor. Dostávame teda, že neexistuje equimatchable faktorovo kritický graf na 7 vrchoch s najmenším izolujúcim párením typu T2.

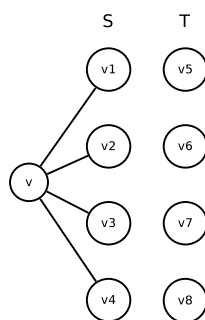
#### Grafy rádu 7 s najmenším izolujúcim párením typu T3.

Z vety 1.8 vieme, že zvyšné vrcholy grafu ( $x$  a  $y$ ) sú spojené hranou. Vieme, že počet

hrán 4-regulárneho grafu na 7 vrcholoch je 14. Z vrcholov  $x$  a  $y$  spolu vychádza presne 6 hrán do množiny  $S$ . Z  $v$  do  $S$  vedú 4 hrany. Celkovo teda  $1 + 6 + 4 = 11$  hrán neleží v  $S$ , čiže počet hrán vo vnútri  $S$  je 3. Bez ujmy na všeobecnosti môžeme predpokladať, že hrany v  $S$  sú  $v_1v_2$ ,  $v_2v_3$  a  $v_3v_4$ . Teraz je ľahko vidieť, že oba vrcholy  $v_1$  a  $v_4$  susedia s oboma vrcholmi  $x$  a  $y$ . Bez ujmy na všeobecnosti vrchol  $x$  susedí s  $v_2$  a vrchol  $y$  susedí s  $v_3$ . Tento graf je 4-regulárny, faktorovo kritický, no nie je equimatchable. Nech  $M' = \{vv_2, v_4y\}$ . Potom ale  $G - v_1 - M'$  sú vrcholy  $x$  a  $v_3$ , no tieto nie sú spojené hranou, čo je v spore s vetou 1.8.

### Grafy rádu 9.

V nasledujúcej časti budeme často využívať poznatok, že každý 4-regulárny graf na 9 vrcholoch má 18 hrán, a vrcholy budeme označovať ako na obrázku 2.3.



Obr. 2.3: Označenie vrcholov v prípade grafu s 9 vrcholmi

#### Grafy rádu 9 s najmenším izolujúcim párením typu T1.

Párenie  $M$  je teda typu T1. Množina  $S$  je nezávislá, lebo ak by  $S$  obsahovalo hranu, tak  $M$  by nebolo najmenšie izolujúce párenie. Nech  $T$  sú vrcholy v  $G - (S \cup \{v\})$ . Počet hrán medzi  $S$  a  $T$  je 12, lebo každý vrchol z  $S$  susedí s tromi vrcholmi z  $T$ . Keďže  $G$  má 18 hrán, v  $T$  sú 2 hrany. Existujú teda práve dve možnosti. Buď sú v  $T$  dve incidentné hrany, alebo dve nezávislé hrany.

Na označenie prípadu (a) pre graf rádu 9 a najmenšie izolujúce párenie typu T1 budeme používať označenie (9-T1-a) a podobne pre ostatné prípady.

#### Prípad (9-T1-a): V $T$ sú dve incidentné hrany.

V tomto prípade, hoci skúmame prípad, že  $M$  je typu T1, zatiaľ neurčujeme hrany párenia. Využijeme zatiaľ iba, že  $S$  je nezávislá množina. Nech hrany  $T$  sú  $\{v_5v_6, v_6v_7\}$ . Ľahko vidno, že vrchol  $v_8$  susedí so všetkými vrcholmi množiny  $S$ . Okrem toho vieme,

že vrcholy  $v_5$  a  $v_7$  susedia v  $G$  každý s tromi vrcholmi z  $S$ . Pozrime sa na číslo  $r = |S \cap N(v_5) \cap N(v_7)|$ , teda počet spoločných susedov vrcholov  $v_5$  a  $v_7$  v  $S$ . Triviálne platí  $0 \leq r \leq 4$ . Počet spoločných susedov nemôže byť 0 ani 1, lebo na to by muselo byť v  $S$  aspoň 5 vrcholov. Číslo  $r$  nemôže byť ani 4, lebo  $v_5$  má v  $S$  iba troch susedov. Ak by sa  $r$  rovnalo 3, tak vrchol z  $S$ , ktorý nesusedí s  $v_5$  má stupeň najviac 3, čo je v spore s regularitou grafu, teda  $r = 2$ . Teraz vieme, že  $v_5$  a  $v_7$  susedia s dvoma spoločnými vrcholmi z  $S$ . Nech sú to bez ujmy na všeobecnosti  $v_1$  a  $v_2$ . O vrchole  $v_6$  tým pádom vieme, že susedí s  $v_3$  a  $v_4$ . Do úvahy teraz pripadajú dve možnosti podľa voľby hrany z  $v_3$  do  $T$ . Tieto dve možnosti sú však izomorfné (stačí zameniť vrcholy  $v_6$  a  $v_8$ ), a výsledný graf je zobrazený na obrázku 2.7. Nie je ťažké vidieť, že tento graf je faktorovo kritický.

Prípad (9-T1-b): V  $T$  sú dve nezávislé hrany.

V tomto prípade, rovnako ako v predchádzajúcom, ešte neurčujeme hrany párenia. Využijeme zatiaľ iba, že  $S$  je nezávislá množina. Keďže vrchol  $v_5$  susedí s tromi vrcholmi z  $S$ , bez ujmy na všeobecnosti nech sú to  $v_1, v_2$  a  $v_3$ . Z tejto situácie je jasné, že vrchol  $v_4$  teraz musí susediť s vrcholmi  $v_6, v_7$  a  $v_8$ . Vrchol  $v_6$  susedí ešte s dvoma vrcholmi z  $S$ . Bez ujmy na všeobecnosti ( $v_1, v_2$  a  $v_3$  sú po dvoch zameniteľné) nech sú teda susedmi vrcholu  $v_6$  vrcholy  $v_1$  a  $v_2$ . Teraz vrchol  $v_3$  už má jednoznačne daných susedov v  $T$ . Sú to  $v_7$  a  $v_8$ . Voľbou hrany z  $v_7$  do vrcholu v  $S$  je graf jednoznačne určený. Sú dve možnosti, no sú izomorfné (stačí vymeniť vrcholy  $v_1$  a  $v_2$ ). Výsledný graf je na obrázku 2.8. Tento graf je faktorovo kritický a nie je izomorfný s grafom z prípadu (9-T1-a), pretože obsahujú rôzny počet trojuholníkov.

Grafy rádu 9 s najmenším izolujúcim párením typu T2.

Párenie  $M$  je typu T2. V tomto prípade vieme, že  $G$  neobsahuje hranu  $v_1v_2$ , inak by existovalo izolujúce párenie vrcholu  $v$  pozostávajúce iba z dvoch hrán a  $M$  by nebolo najmenšie izolujúce párenie. Tento prípad rozdelíme na podprípady podľa počtu hrán v  $S$ . Keďže  $M$  je najmenšie izolujúce párenie, tak  $S$  nemôže obsahovať dve nezávislé hrany. Je ľahké nahliadnúť (obr. 2.6), že každý graf na štyroch vrcholoch s aspoň štyrmi hranami obsahuje dve nezávislé hrany. Teda  $S$  neobsahuje viac ako tri hrany.

Prípad (9-T2-a): V  $S$  je 1 hrana.

Graf  $G$  má 18 hrán; hrán medzi  $\{v\}$  a  $S$ , medzi  $S$  a  $T$ , a vnútri  $S$  je spolu 15. Z toho vyplýva, že v  $T$  musia byť presne tri hrany. Podgraf indukovaný  $T$  môže byť buď  $C_3$  a izolovaný vrchol, alebo  $P_4$ .

(i) Podgraf indukovaný  $T$  je  $C_3$  a izolovaný vrchol.

Presná konfigurácia hrán v  $T$  je daná voľbou izolovaného vrcholu. Keďže z vety 1.8 (použitej na vrchol  $v$  a párenie  $M$ ) vieme, že vrcholy  $v_7$  a  $v_8$  sú spojené hranou, a teda  $v_7$  ani  $v_8$  nemôžu byť izolovaným vrcholom podgrafu indukovaného  $T$ . Z toho vyplýva, že v  $T$  je izolovaný jeden z vrcholov  $v_5$  a  $v_6$ , bez ujmy na všeobecnosti nech to je  $v_6$ . Vieme teda, že  $v_6$  susedí so všetkými vrcholmi v  $S$ . Ďalej vieme, že  $v_1$  susedí s niektorým vrcholom z  $\{v_7, v_8\}$ . Tieto sú ale zamenniteľné, tak nech je to  $v_7$ . Z  $v_8$  idú dve hrany do vrcholov v  $S$ . Aspoň jedna z nich je bez ujmy na všeobecnosti hrana  $v_4v_8$ . V tejto situácii už pripojenie vrcholu  $v_3$  do  $T$  (niektorou z troch možností  $v_5, v_7$ , alebo  $v_8$ ) jednoznačne určí celý graf (obr. 2.9 - 2.11).

(ii) Podgraf indukovaný  $T$  je  $P_4$ .

Predpokladajme bez ujmy na všeobecnosti, že v  $T$  sú hrany  $v_5v_6$ ,  $v_6v_7$  a  $v_7v_8$ , a že hrany párenia  $M$  zatiaľ nie sú určené. V tejto situácii hneď vidíme, že ak by  $v_3$  susedil s dvomi susednými vrcholmi z  $T$ , tak by sa dal izolovať párením mohutnosti dva, čo je v spore s predpokladom, že najmenšie izolujúce párenie grafu je typu T2. Existujú len tri dvojice nesusedných vrcholov v  $T$  a to  $v_5$  a  $v_7$ ,  $v_5$  a  $v_8$ , respektíve  $v_6$  a  $v_8$ .

Predpokladajme najprv, že  $v_3$  je susedný s  $v_5$  a  $v_7$ . Hneď vidno, že vrchol  $v_8$  susedí presne s tromi vrcholmi z  $S$  a to konkrétne  $v_1, v_2$  a  $v_4$ . Pre vrchol  $v_1$  nastáva jedna z nasledujúcich možností, podľa toho, s ktorým vrcholom z  $T$  nesusedí vrchol  $v_1$ . Buď je to prípad, že  $v_1$  susedí s  $v_5$  a  $v_6$ , kde voľba suseda vrcholu  $v_4$  v  $T$  určuje celý graf. Grafy pre zvolených susedov  $v_5$  a  $v_6$  sú na obrázkoch 2.12, 2.13 avšak pri voľbe suseda  $v_7$  by sme odizolovali vrchol  $v_4$  párením veľkosti 2, teda táto možnosť nepripadá do úvahy. V prípade, že  $v_1$  susedí s  $v_5$  a  $v_7$ , ako aj v prípade, že  $v_1$  susedí s  $v_6$  a  $v_7$  je graf jednoznačne určený a zakreslený na obrázkoch 2.14, respektíve 2.15.

Teraz predpokladajme, že  $v_3$  susedí s  $v_5$  a  $v_8$ . V tomto prípade si, podobne ako v predchádzúcom prípade rozdelíme problém na prípady v závislosti od toho, s ktorým vrcholom z  $T$  nesusedí vrchol  $v_1$ . Rozlíšime štyri prípady podľa toho, s ktorým vrcholom z  $T$  nesusedí vrchol  $v_1$ . Najprv predpokladajme, že  $v_1$  nesusedí s  $v_5$ . Hneď vidno, že vrchol  $v_5$  susedí s  $v_2$  a  $v_4$ . Hranu  $v_4v_6$  musíme zakázať, lebo inak by vzniklo párenie izolujúce  $v_4$ , pozostávajúce len z dvoch hrán. Teraz jediná možnosť vrcholu  $v_6$  na susedstvo z  $S$  je  $v_2$ . Podobne hrana  $v_4v_8$  je zakázaná, lebo vzniklo nevhodné izolujúce párenie vrcholu  $v_8$ . Z toho je už jednoznačne určený

graf na obrázku 2.16. Teraz predpokladajme, že  $v_1$  nesusedí s  $v_5$ . Hneď vidíme, že vrchol  $v_6$  susedí s  $v_2$  a  $v_4$ . Hranu  $v_4v_6$  zakážeme (izolovanie vrcholu  $v_4$ ), teda vrchol  $v_7$  susedí s  $v_2$ . Z rovnakého dôvodu vylúčime aj hranu  $v_4v_6$ , čím je graf z obrázku 2.17 určený. Teraz predpokladajme, že  $v_1$  nesusedí s  $v_6$ . Ľahko vidno, že vrchol  $v_7$  susedí s  $v_2$  a  $v_4$ . Hrany  $v_4v_6$  a  $v_4v_8$  zakážeme (izolovanie vrcholu  $v_4$ ), teda vrchol  $v_4$  susedí s  $v_5$ . Na doplnenie hrán ostáva už len jediná možnosť 2.18. A nakoniec predpokladajme, že  $v_1$  nesusedí s  $v_8$ . Hneď vidíme, že vrchol  $v_8$  susedí s  $v_2$  a  $v_4$ . Teraz ukážeme neexistenciu tohto grafu sporom. Hrana  $v_4v_7$  je zakázaná, lebo by viedla k vzniku malého izolujúceho párenia pre vrchol  $v_4$ . Z toho vyplýva, že vrchol  $v_7$  musí susediť s vrcholom  $v_2$ , čo má ale za následok existenciu izolujúceho párenia veľkosti dva, čo je v spore s predpokladom.

Nakoniec predpokladajme, že  $v_3$  susedí s  $v_6$  a  $v_8$ . V tomto prípade máme len jeden vyhovujúci graf. Vieme, že  $v_5$  susedí s  $v_1, v_2$  a  $v_4$ . Keďže hranu  $v_4v_6$  vylúčime pre veľkosť izolujúceho párenia vrcholu  $v_4$ , vrchol  $v_6$  susedí s niektorým z vrcholov  $v_1, v_2$ . Bez ujmy na všeobecnosti nech je to vrchol  $v_2$ . Ľahko vidno, že  $v_1$  susedí s  $v_7$  a  $v_8$  a potom aj že hranu  $v_4v_8$  musíme zakázať (pre izolovanie  $v_8$ ). Teraz už je graf jednoznačne určený tak, ako je zakraslený na obrázku 2.19.

Prípad (9-T2-b): V  $S$  sú 2 hrany.

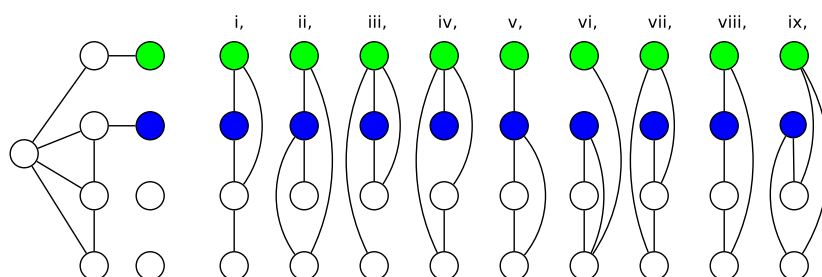
Ak  $S$  obsahuje 2 hrany, tak sú to bez ujmy na všeobecnosti  $v_2v_3$  a  $v_3v_4$ . Hrana  $v_1v_2$  je vylúčená voľbou  $M$ . V  $S$  teda musí byť hrana niekde medzi množinami  $\{v_1, v_2\}$  a  $\{v_3, v_4\}$ . Bez ujmy na všeobecnosti nech je to  $v_2v_3$ . V  $T$  musia byť 4 hrany, lebo  $\|G\| = 18$  a všetkých hrán, ktoré neležia v podgrafe indukovanom  $T$ , je spolu 14. V nasledujúcom texte rozoberieme všetky možnosti umiestnenia hrán v  $T$  aj vzhľadom na to, ktoré vrcholy sú v  $M$ .

Existujú dva grafy na štyroch vrchole so štyrmi hranami:  $C_4$  a  $K_{1,3}$  s jednou hranou vnútri väčšej partície. Záleží však na voľbe hrán medzi vrcholmi z  $T$ , teda nastáva jedna z deviatich možností z obrázku 2.4.

(i), Nech vrchol stupňa 3 v  $T$  je  $v_7$ .

Vrchol  $v_8$  musí susediť s dvoma vrcholmi z  $S$ . V každom prípade musí susediť s jedným z vrcholov  $v_2$  a  $v_3$ . Nastáva teda jedna z nasledujúcich možností. Buď prípad  $\alpha$ , kde  $v_2$  aj  $v_3$  susedia s  $v_8$ , prípad  $\beta$ , kde  $v_3 \not\sim v_8$ , alebo prípad  $\gamma$ , kde  $v_2 \not\sim v_8$ .



Obr. 2.4: Možnosti usporiadania hrán v  $T$ 

$\alpha$ , Vieme, že  $v_5$  už môže susediť jedine s  $v_4$ . Teraz, ak  $v_6$  susedí s  $v_1$ , tak dostávame dva grafy podľa voľby suseda pre  $v_1$  (buď  $v_7$ , alebo  $v_8$ ). (obr. 2.20 a 2.21). Ak  $v_6$  susedí s  $v_4$ , je už len jedna možnosť (obr. 2.22).

- (ii), Z vety 1.8 (použitej na vrchol  $v$  a párenie  $M$ ) vieme, že  $G - M - \{v\}$  je kompletný, alebo kompletný bipartitný graf. Preto sa v equimatchable faktorovo kritickom grafe nemôže stať, že vrcholy  $v_7$  a  $v_8$  nesusedia.
- (iii), Nenastáva z rovnakého dôvodu ako v (ii).
- (iv), Vrchol  $v_5$  je stupňa 4, teda nesusedí so žiadnym vrcholom z  $S$  okrem  $v_1$ . Vrchol  $v_4$  musí mať dvoch susedov z  $T$ . S niektorým vrcholom z  $T$  (okrem  $v_5$ ) nesusedí, a tak nastáva jedna z týchto troch možností. Buď  $\alpha: v_4 \not\sim v_6$ , alebo  $\beta: v_4 \not\sim v_7$ , alebo  $\gamma: v_4 \not\sim v_8$ .

V prípade  $\alpha$ : Párenie  $\{vv_3, v_7v_8\}$  izoluje vrchol  $v_4$  a je menšie ako  $M$ , čo je v spore s voľbou  $M$ . Teda takýto graf neexistuje. V prípade  $\beta$ : Vieme už, že vrchol  $v_4$  je incidentný s  $v_6$  a  $v_8$ . Vrchol  $v_2$  susedí okrem  $v_5$  (má stupeň 4) a  $v_6$  (s ním už susedí) ešte s jedným vrcholom z  $T$ . Buď (1):  $v_2 \sim v_8$ , alebo (2):  $v_2 \sim v_7$ . V prípade (1) dostaneme jediný graf 2.28. V prípade (2) dostávame tri grafy jednoznačne určené voľbou suseda vrcholu  $v_3$  z množiny  $\{v_6, v_7, v_8\}$  (obr. 2.29 - 2.31). V prípade  $\gamma$ : Graf  $G$  neobsahuje hranu  $v_3v_6$ , lebo inak by párenie  $\{vv_4, v_2v_6\}$  bolo izolujúce párenie vrcholu  $v_3$  s mohutnosťou menšou ako  $M$ , čo je v spore s voľbou  $M$ . Teda vrchol  $v_6$  musí v  $S$  susediť (okrem  $v_2$ ) ako s jedinou možnosťou s  $v_1$ . Voľba suseda vrcholu  $v_7$  v  $S$  (okrem  $v_4$ , ktorý je stupňa 4) už určí celý graf. Možní susedia sú teda  $v_1, v_2$  a  $v_3$  (obr. 2.32 - 2.34).

- (v), Vrchol  $v_1$  susedí okrem  $v_5$  s dvoma ďalšími vrcholmi z  $T$ . Nemôže to byť vrchol  $v_6$ , lebo ten je už z predpokladu stupňa 4. Takže v  $G$  sú hrany  $v_1v_7$  a  $v_1v_8$ . Môže

nastať jedna z troch možností (podľa toho, z ktorým vrcholom z  $T$  nesusedí  $v_4$ ).  
 Buď  $\alpha: v_4 \not\sim v_5$ , alebo  $\beta: v_4 \not\sim v_7$ , alebo  $\gamma: v_4 \not\sim v_8$ .

V prípade  $\alpha$ : Graf je v tejto časti jednoznačne určený. Vrchol  $v_4$  susedí s  $v_7$  a  $v_8$  a vrchol  $v_5$  už musí susediť s  $v_2$  a  $v_3$  (obr. 2.23). V prípade  $\beta$ , Vrchol  $v_4$  susedí s  $v_5$  a  $v_8$ . Teraz už voľba hrany z  $v_3$  do množiny  $\{v_5, v_7\}$  určí graf (obr. 2.24 a 2.25). V prípade  $\gamma$ , Vrchol  $v_4$  susedí s  $v_5$  a  $v_7$ . Teraz už voľba hrany z  $v_3$  do množiny  $\{v_5, v_8\}$  určí graf (obr. 2.26 a 2.27).

- (vi), Ľahko sa dá vidieť, že vrchol  $v_4$  môže byť incidentný len s nesusednými vrcholmi z  $T$  (inak by vzniklo párenie izolujúce  $v_4$  s mohutnosťou menšou ako  $|M|$ ). V podgrafe indukovanom  $T$  sú však len dve dvojice nesusedných vrcholov ( $v_5, v_6$ ) a ( $v_5, v_7$ ). Takže preskúmame dva prípady  $\alpha$ , kde  $v_4$  susedí s  $v_5$  a  $v_6$  a prípad  $\beta$ , kde  $v_4$  susedí s  $v_5$  a  $v_7$ .

V prípade  $\alpha$  ďalej vieme, že  $v_1$  susedí okrem  $v_5$  ešte s dvomi vrcholmi z  $T$ . Ľahko vidieť, že to musia byť  $v_7$  a  $v_8$ . Potom hranu  $v_2v_7$  nemôžeme použiť, lebo by vzniklo menšie izolujúce párenie vrcholu  $v_2$ , teda ostáva jediná možnosť a teda, že  $v_2$  susedí s  $v_5$  čím je graf jednoznačne určený (obr. 2.35).

V prípade  $\beta$  určíme susednosť vrcholu  $v_1$  voľbou vrcholu z  $T$ , s ktorým  $v_1$  nesusedí. Nastáva jedna z troch možností: prípad (1):  $v_1 \not\sim v_6$ , prípad (2):  $v_1 \not\sim v_7$ , alebo prípad (3):  $v_1 \not\sim v_8$ .

V prípade (1) taký graf neexistuje, lebo  $v_3$  musí susediť s  $v_5$  (inak by vzniklo menšie izolujúce párenie vrcholu  $v_3$ ) aj  $v_2$  musí susediť s  $v_5$ , lebo s  $v_6$  už susedí a chýba mu ešte jedna hrana. Teda vrchol  $v_5$  má stupeň 5, čiže graf nie je 4-regulárny. V prípade (2) vidíme, že  $v_2$  nesusedí s  $v_7$ , lebo by vzniklo izolujúce párenie  $v_2$  menšie ako  $M$ , teda v  $G$  je hrana  $v_2v_5$ . Tým je už graf jednoznačne určený (obr. 2.36) V prípade (3) zase v grafe nemôže byť hrana  $v_2v_8$  (kvôli veľkosti najmenšieho izolujúceho párenia  $v_2$ ), teda je tam hrana  $v_2v_5$ , a tým je už graf určený (obr. 2.37).

- (vii), Pripustením hrany  $v_3v_6$  by sme dostali menšie izolujúce párenie vrcholu  $v_6$ , preto ju vylúčime. Z toho vyplýva, že  $v_6$  susedí s vrcholmi  $v_1$  a  $v_4$ . Teraz vylúčime aj hrany  $v_7v_1$ ,  $v_7v_2$  a  $v_7v_4$  (izolovanie  $v_7$ ) a ostáva jediná možnosť pre hranu z  $v_7$  do vrcholu v  $S$  a to  $v_7v_3$ . Jedinou možnosťou na doplnenie stupňa vrcholu  $v_1$  je hrana do vrcholu  $v_4$ , čím sa dostávame do situácie, kedy je graf jednoznačne určený voľbou hrany z  $v_2$  do  $v_5$  alebo  $v_8$  (obrázky 2.38, 2.39).

- (viii), Situáciu preskúmame rozdelením na dva prípady podľa susednosti vrcholu  $v_4$

s vrcholmi z  $S$ . Najprv však zredukujeme počet možností. Vieme, že  $v_4$  susedí s  $v_2$  a  $v_3$ , ktoré sú navzájom susedné. Teda ak by  $v_4$  susedil s ďalšími dvoma susednými vrcholmi, bolo by to v spore s voľbou  $M$ . Takže kandidáti na susedov vrcholu  $v_4$  sú  $(\alpha)$   $v_5$  a  $v_7$ , alebo  $(\beta)$   $v_6$  a  $v_8$ . V prípade  $(\alpha)$  hneď vidíme, že hrany  $v_2v_5$  a  $v_2v_7$  sú neprípustné z dôvodu veľkosti minimálneho izolujúceho párenia vrcholu  $v_2$ . Podobne pre vrchol  $v_3$  je nevyhovujúca hrana  $v_3v_7$ . Z toho vieme, že jedinou možnosťou pre vrchol  $v_2$  ostáva  $v_8$ . Ďalej kvôli izolovaniu vrcholu  $v_3$  vylúčime hrany  $v_3v_5$ ,  $v_3v_6$  a  $v_3v_7$ . Takže vrchol  $v_3$  nemôže susediť so žiadnym vrcholom z  $T$ , teda je stupňa tri, čo je v spore s regularitou grafu. Takýto graf neexistuje. V prípade  $(\beta)$  sa tiež rýchlo dostaneme do sporu. V grafe sú určite hrany  $v_1v_7$  a  $v_1v_8$ , lebo vrchol  $v_1$  nemá inú možnosť. Teraz sú už vrcholy  $v_6$  a  $v_7$  stupňa 4, takže s nimi už nemôže susediť žiaden vrchol z  $S$ . Z pohľadu vrcholu  $v_2$  však musíme vylúčiť hranu  $v_2v_5$  a hranu  $v_2v_7$  (kvôli veľkosti izolujúceho párenia), čo boli jediné možnosti vrcholu  $v_2$  ako mať stupeň štyri. Teda takýto graf neexistuje.

(ix), Táto situácia nenastáva z rovnakého dôvodu ako v časti (ii).

Prípad (9-T2-c): V  $S$  sú 3 hrany.

V podgrafe indukovanom  $T$  ostáva 5 hrán. Jediný graf s piatimi hranami a štyrmi vrcholmi je  $K_4$  bez jednej hrany. Vrcholy v  $T$  v tejto časti nebudeme označovať  $v_5$  až  $v_8$ , ale  $a_1, a_2$  budú vrcholy stupňa dva a  $b_1, b_2$  budú vrcholy stupňa tri v podgrafe indukovanom  $T$ , pričom príslušnosť do  $M$  zatiaľ neurčujeme.

Sú dve možnosti ako umiestniť do  $S$  tri hrany tak, aby sa zachovala voľba  $M$  ako najmenšieho izolujúceho párenia v grafe (obr. 2.6).

Najprv preskúmame možnosť, že v podgrafe indukovanom  $S$  vrchol  $v_1$  je izolovaný a zvyšné tvoria  $K_3$ . Vrchol  $a_1$  musí susediť s vrcholom  $v_1$ , lebo ak by s ním nesusedil, susedil by s niektorými dvoma vrcholmi z  $\{v_2, v_3, v_4\}$ , čím by vzniklo párenie izolujúce  $a_1$  mohutnosti 2, čo je v spore s voľbou  $M$ . Podobne aj pre  $a_2$ , z čoho vyplýva, že v  $G$  sú hrany  $v_1a_1$  a  $v_1a_2$ . Bez ujmy na všeobecnosti zvolíme za ďalšieho suseda vrcholu  $a_1$  vrchol  $v_2$ . Tak isto bez ujmy na všeobecnosti nech  $v_4$  je sused vrcholu  $a_2$ . Teraz vieme, že niektorý z vrcholov  $b_1, b_2$  susedí s  $v_1$ . Nech je to bez ujmy na všeobecnosti vrchol  $b_1$ . Teraz  $\{v_1a_1, b_2a_2\}$  tvoria párenie, ktoré izoluje vrchol  $b_1$  a je menšie ako  $M$ . To je v spore s voľbou  $M$ , teda takýto graf neexistuje.

Teraz preskúmame možnosť, že podgraf indukovaný  $S$  je  $K_{3,1}$ . Konkrétne (ako vidno z obrázku 2.6)  $v_3$  tvorí jednu partíciu a ostatné vrcholy z  $S$  druhú. Vrchol  $a_1$  musí

susediť s dvojicou nesusedných vrcholov. Inak by vzniklo párenie mohutnosti 2 izolujúce vrchol  $a_1$ . V  $S$  sú práve tri dvojice nesusedných vrcholov. Rozlíšime teda tri prípady podľa toho, s ktorou dvojicou susedí vrchol  $a_1$ . Prípade (1), kedy máme hrany  $a_1v_1$  a  $a_1v_2$  vylučuje hranu  $v_1b_1$ , kvôli veľkosti najmenšieho izolujúceho párenia vrcholu  $b_1$ . Tiež vylúčime hranu  $v_1b_2$  z rovnakého dôvodu pre vrchol  $v_1$ . Keďže teraz vrchol  $v_1$  nemôže susediť s  $b_1, a_1$  a ani  $b_2$ , tak musí susediť s  $a_2$ . Ďalej vidíme, že hrany  $v_2b_1$  a  $v_2b_2$  sú neprípustné, lebo spôsobujú vznik izolujúceho párenia vrcholu  $v_2$  mohutnosti dva. Z toho vyplýva, že  $v_2$  susedí s  $a_2$ . Ostáva jediná možnosť, že  $v_4$  susedí s  $b_1$  aj s  $b_2$ . Hrany  $b_1b_2$  a  $vv_3$  tvoria izolujúce párenie vrcholu  $v_4$ , čo je v spore s voľbou  $M$ . V prípade (2), kedy  $a_1$  susedí s vrcholmi  $v_1$  a  $v_4$ , sú neprípustné hrany  $v_1b_1$  a  $v_1b_2$ . Pre vrchol  $v_1$  ostáva jediná možnosť, totiž susednosť s vrcholom  $a_2$ . Ďalej z pohľadu vrcholu  $b_2$  a jeho izolujúceho párenia vylúčime hrany  $b_2v_3$  a  $b_2v_4$ . Z toho vyplýva, že  $G$  obsahuje hranu  $v_2b_2$ . Vrchol  $v_2$  už má jedinú možnosť, susednosť s vrcholom  $a_2$ , ktorá ale vyústi do sporu s veľkosťou najmenšieho izolujúceho párenia pre vrchol  $v_2$ . V prípade (3), kedy  $a_1$  susedí s vrcholmi  $v_2$  a  $v_4$  môžeme vylúčiť hrany  $v_2b_1$  a  $v_2b_2$ . Teda  $v_2$  susedí s  $a_2$ , a s touto vedomosťou môžeme vylúčiť ďalšie hrany:  $v_4b_1$  a  $v_4b_2$ , kvôli veľkosti najmenšieho izolujúceho párenia vrcholu  $v_4$ . Teraz vieme, že  $v_4$  susedí s  $a_2$ , čo je spor s minimalitou  $M$ .

### Grafy rádu 9 s najmenším izolujúcim párením typu T3.

Majme vrcholy grafu  $G$  označené ako na obrázku 2.3. Podľa vety 1.8 aplikovanej na vrchol  $v$  a párenie ako na obrázku 2.1-T3 vieme, že  $T$  tvorí kompletný graf  $K_4$ , alebo kompletný bipartitný graf  $K_{2,2}$ .

Najprv predpokladajme, že podgraf  $T$  indukovaný na  $G$  je izomorfný s  $K_4$ . Môžu nastať dve možnosti podľa toho s koľkými vrcholmi z  $T$  susedia vrcholy z  $S$ . Ak každý vrchol z  $T$  susedí s rôznym vrcholom z  $S$ , tak vieme, že v  $S$  musia byť 4 hrany. Každému vrcholu však chýba práve jedna incidentná hrana, z čoho ľahko vidno, že jediný spôsob ako doplniť hrany množiny  $S$  je pridanie hrán  $v_1v_4$  a  $v_2v_3$ . Teraz dostávame niekoľko grafov podľa spárovania  $S$  a  $T$ , ktoré sú však navzájom izomorfné. Jediný vyhovujúci výsledný graf je zobrazený na obrázku 2.40. Druhou možnosťou je, že niektorý vrchol z  $S$ , bez ujmy na všeobecnosti nech je to  $v_1$ , susedí s dvoma vrcholmi  $T$ . Za tie bez ujmy na všeobecnosti zvolíme vrcholy  $v_5$  a  $v_6$ . Teraz nech  $M' = \{v_1v_6, v_7v_8\}$ . Z vety 1.8 aplikovanej na vrchol  $v_5$  a párenie  $M'$  vidno, že podgraf indukovaný na  $\{v, v_2, v_3, v_4\}$  musí byť  $K_4$ , lebo obsahuje trojuholník. Doplnenie hrán tohto grafu už má len dve možnosti, ale tie sú izomorfné. Výsledný graf je zobrazený na obrázku 2.41.

Teraz predpokladajme, že podgraf  $T$  indukovaný na  $G$  je izomorfný s  $K_{2,2} \cong C_4$ . Nech vrcholy  $T$  sú pospájané do cyklu v poradí  $v_5, v_6, v_7$  a  $v_8$ . Ďalej vieme, že okrem hrán  $v_1v_2$  a  $v_3v_4$  už žiadne iné hrany  $S$  neobsahuje. Z toho, že graf  $G$  je faktorovo kritický vieme, že najväčšie párenie má veľkosť štyri.

Ak v  $G$  je množina nezávislých vrcholov  $N$  taká, že dva vrcholy sú v  $T$  a jeden v  $S$ , tak potom jediným prípustným grafom je faktorovo kritický graf z obrázku 2.42. Všimnime si najprv, že množiny  $N' = \{v, v_5, v_7\}$  a  $N'' = \{v, v_6, v_8\}$  sú nezávislé pre ľubovoľné doplnenie hrán. Ak by graf indukovaný na vrcholovom doplnku niektorej z týchto množín obsahoval perfektné párenie, tak toto párenie by bolo zjavne veľkosti 3 a nerozšíriteľné, teda v spore s predpokladom, že graf je equimatchable faktorovo kritický. Hranu, ktorá by spôsobila existenciu perfektného párenia na množine  $\overline{N}$ ,  $\overline{N'}$ , alebo  $\overline{N''}$  nazveme zakázanou. Bez ujmy na všeobecnosti nech  $N = \{v_2, v_5, v_7\}$ . Ľahko vidno, že vrchol  $v_2$  susedí s  $v_6$  a  $v_8$ . Z toho vidíme, že hrany  $v_1v_6$  a  $v_1v_8$  sú zakázané. Teraz zjavne  $v_1$  musí susediť s  $v_5$  a  $v_7$ . Vrchol  $v_7$  nesusedí s  $v_2$ , lebo sú spolu v nezávislej množine  $N$ , teda  $v_7$  susedí s niektorým z vrcholov  $v_3, v_4$ , ale tie sú zameniteľné, tak bez ujmy na všeobecnosti nech je to  $v_4$ . Teraz ale vieme, že hrana  $v_3v_5$  je zakázaná, teda  $v_3$  susedí s vrcholmi  $v_6$  a  $v_8$ . Týmto je graf z obrázku 2.42 jednoznačne určený.

Predpokladajme teraz, že v  $G$  nie je taká množina nezávislých vrcholov, že dva vrcholy sú v  $T$  a jeden v  $S$ . To znamená, že pre trojicu vrcholov  $v_1, v_5$  a  $v_7$  musí susediť  $v_1$  s niektorým z  $v_5, v_7$ . Bez ujmy na všeobecnosti, nech je to  $v_5$ . Podobne pre trojicu  $v_1, v_6$  a  $v_8$  musí  $v_1$  susediť s niektorým z  $v_6, v_8$ . Tieto vrcholy sú však v danej situácii zameniteľné, preto nech je v grafe hrana  $v_1v_6$ . Teraz ale párenie  $M' = \{v_1v_6v_7v_8\}$  izoluje vrchol  $v_5$ , ale vrcholy  $v, v_2, v_3$  a  $v_4$  obsahujú trojuholník a nedajú sa doplniť na  $K_4$ , čím porušujú nutnú podmienku z vety 1.8, takýto graf neexistuje.

Ďalej sa budeme zaoberať stupňom vrcholovej súvislosti grafu. Graf  $G$  je súvislý, teda triviálne je 1-súvislý. Grafy, ktoré sú 2-súvislé, majú buď artikuláciu, alebo 2-rez. Oba prípady sú charakterizované v [Fav86]. Ak  $G$  nie je 1- ani 2-súvislý, tak je buď 3-súvislý s 3-rezom, alebo 4-súvislý so 4-rezom.

### Prípád 1, $G$ má vrcholovú súvislosť 3.

Predpokladajme, že  $G$  je 3-súvislý graf s 3-rezom  $S$ . Prípady, kedy má menej ako 11 vrcholov, sú pokryté v predchádzajúcej časti dôkazu.

Z lemy 1.9 (pozri stranu 3) vyplýva, že ak má 3-súvislý graf  $G'$  s 3-rezom  $S$  aspoň 9 vrcholov, tak  $G' - S$  má práve dva komponenty. Teda  $G - S$  má práve dva komponenty.

V časti venovanej 3-súvislým grafom budeme teda predpokladať, že  $G - S$  má práve dva komponenty a budeme sa na ne odvolávať ako na  $A$  a  $B$ .

Nech trojsúvislý graf  $G$  má 11 vrcholov a 3-rez  $S$ . Potom vzhľadom na veľkosti  $A$  a  $B$  nastáva jedna z nasledujúcich možností. (Veľkosti  $A$  a  $B$  uvádzame bez ujmy na všeobecnosti usporiadané podľa veľkosti v zátvorke  $(|A|, |B|)$ .)

11(1,7),  $|A| = 1$  a  $|B| = 7$ : Táto situácia nemôže nastať, lebo vrchol v komponente veľkosti 1 môže susediť len s vrcholmi rezu. Tie sú len tri, teda takýto graf by nebol 4-regulárny.

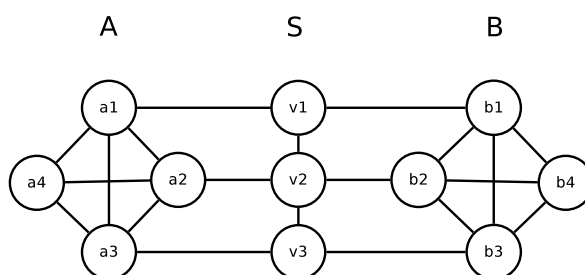
11(2,6), Z regularity grafu vieme, že  $\|G\| = 22$  a podľa vety 1.13 vieme, že ak  $S$  obsahuje hranu, tak  $B$  je kompletný graf. To je v spore s regularitou grafu, teda  $S$  neobsahuje hranu. Ďalej (z tej istej vety) vieme, že podgraf  $G$  indukovaný na  $S \cup B$  je  $K_{5,4}$  bez hrán nejakého párenia medzi  $S$  a  $B$ . V podgrafe indukovanom na  $S \cup B$  je však veľkosť najväčšieho takého párenia 3, teda takýto graf neexistuje, lebo rozdiel v počte hrán je až 5.

11(3,5),  $|A| = 3$  a  $|B| = 5$ : Nenastane. Graf  $G$  splňa predpoklady vety 1.10, teda  $B = K_5$ , čo je v spore s tým, že  $G$  je súvislý.

11(4,4),  $|A| = 4$  a  $|B| = 4$ : Graf  $G$  splňa predpoklady vety 1.10, teda  $A = B = K_4$ . Celkový počet hrán v  $G$  je 22. V  $A$  a  $B$  je po 6 hrán, 8 hrán prepojí rez a partície. To je spolu 20 hrán, čiže v  $S$  sú presne 2 hrany. Keďže jediný jednoduchý graf na troch vrcholoch s dvomi hranami je  $P_3$ , bez ujmy na všeobecnosti môžeme predpokladať, že dve hrany v  $S$  sú  $v_1v_2$  a  $v_2v_3$ .

Podľa lemy 1.11 vieme, že existujú párenia medzi  $S$  a  $A$ , respektíve  $S$  a  $B$ , ktoré pokrývajú všetky tri vrcholy  $S$ . Bez ujmy na všeobecnosti predpokladajme, že hrany týchto párení sú  $a_1v_1, a_2v_2, a_3v_3$ , respektíve  $b_1v_1, b_2v_2, b_3v_3$  (obr. 2.5).

Teraz ukážeme, že pre vrchol  $v_1$  existuje izolujúce párenie, ktoré nespĺňa nutnú podmienku z vety 1.8, z čoho vyplýva, že tento graf na 11 vrcholoch nie je equimatchable faktorovo kritický. Graf  $G$  je 4-regulárny, preto  $v_1$  okrem  $a_1, b_1$  a  $v_2$  susedí s práve jedným ďalším vrcholom  $x$ . Bez ujmy na všeobecnosti predpokladajme, že  $x \in A$ . Vrcholy  $a_1, a_2$  a  $a_3$  už majú stupeň 4, takže ostáva iba  $x = a_4$ . Nech  $M = \{a_1a_4, v_2v_3, b_1b_2\}$ . Potom  $M$  je zjavne párenie grafu  $G$ , ktoré izoluje vrchol  $v_1$ . Keďže  $G - M - \{v_1\}$  je nesúvislý graf, nie je splnená nutná podmienka z vety 1.8, a teda takýto graf naozaj neexistuje.



Obr. 2.5: 3-rez na grafe s 11 vrcholmi rozdeľuje graf na časti veľkosti 4

Nech má  $G$  13 vrcholov. Rez  $S$  môže rozdeliť graf  $G - S$  na dva komponenty nasledovných veľkostí (1, 9), (2, 8), (3, 7), (4, 6) a (5, 5) (bez ujmy na všeobecnosti usporiadané podľa veľkosti) .

- 13(1,9), Táto situácia nemôže nastať, lebo vrchol v komponente veľkosti 1 môže susediť len s vrcholmi rezu. Tie sú len tri, teda takýto graf by nebol 4-regulárny.
- 13:(2,8), Podľa vety 1.13 rozlíšime, či  $S$  obsahuje hranu alebo nie. Ak  $S$  obsahuje hranu, tak  $A$  aj  $B$  tvoria kompletne podgrafy, teda každý vrchol v  $B$  má stupeň aspoň 7, čo je spor s tým, že  $G$  je 4-regulárny. Množina  $S$  teda neobsahuje hranu. Ďalej vieme (z vety 1.13), že  $S \cup B$  s niekoľkými pridanými nezávislými hranami medzi  $S$  a  $B$  tvorí  $K_{5,6}$ . Keďže  $G$  je 4-regulárny a podgraf  $G$  indukovaný na  $A$  obsahuje práve jednu hranu, tak práve 7 hrán grafu  $G$  je incidentných s vrcholmi v  $A$ . To znamená, že podgraf  $G$  indukovaný na  $S \cup B$  obsahuje práve 19 hrán (keďže  $G$  má práve 26 hrán). Na doplnenie  $S \cup B$  na  $K_{5,6}$  je teda potrebných 11 hrán, čo zjavne nie je možné, keďže hrany majú byť nezávislé.
- 13(3,7), Táto situácia nemôže nastať, lebo táto konfigurácia spĺňa podmienky vety 1.10 a kompletný komponent veľkosti 7 má všetky vrcholy stupňa aspoň 6, takže nemôže byť 4-regulárny.
- 13(4,6), Komponenty  $A$  a  $B$  sú oba veľkosti aspoň 3, teda z vety 1.10 vyplýva, že  $A$  aj  $B$  sú kompletne komponenty  $G - S$ . Z toho vyplýva, že každý vrchol komponentu  $B$  má stupeň aspoň 5, čo je v spore s tým, že  $G$  je 4-regulárny.
- 13(5,5), Komponenty  $A$  a  $B$  sú oba veľkosti aspoň 3, teda z vety 1.10 vyplýva, že  $A$  aj  $B$  sú kompletne komponenty  $G - S$ . Z toho vyplýva, že každý vrchol

komponentu  $B$  má stupeň aspoň 5 a navyše, keďže  $G$  je súvislý, niektorý vrchol z  $B$  musí byť spojený s niektorým vrcholom v  $S$ , teda má stupeň 6. To je v spore s tým, že  $G$  je 4-regulárny.

Nech má  $G$  15 vrcholov. Rez  $S$  môže rozdeliť graf  $G - S$  na dva komponenty nasledovných veľkostí (1, 11), (2, 10), (3, 9), (4, 8), (5, 7) a (6, 6) (bez ujmy na všeobecnosti usporiadané podľa veľkosti).

15:(1,11), Táto situácia nemôže nastať, lebo vrchol v komponente veľkosti 1 môže susediť len s vrcholmi rezu. Tie sú len tri, teda takýto graf by nebol 4-regulárny.

15:(2,10), Podľa vety 1.13 rozlíšime, či  $S$  obsahuje hranu alebo nie. Ak  $S$  obsahuje hranu, tak  $A$  aj  $B$  tvoria kompletne podgrafy, teda každý vrchol v  $B$  má stupeň aspoň 9, čo je spor s tým, že  $G$  je 4-regulárny. Množina  $S$  teda neobsahuje hranu. Ďalej vieme (z vety 1.13), že  $S \cup B$  s niekoľkými pridanými nezávislými hranami medzi  $S$  a  $B$  tvorí  $K_{6,7}$ . Keďže  $G$  je 4-regulárny a podgraf  $G$  indukovaný na  $A$  obsahuje práve jednu hranu, tak práve 7 hrán grafu  $G$  je incidentných s vrcholmi v  $A$ . To znamená, že podgraf  $G$  indukovaný na  $S \cup B$  obsahuje práve 23 hrán (keďže  $G$  má práve 30 hrán). Na doplnenie  $S \cup B$  na  $K_{6,7}$  je teda potrebných 19 hrán, čo zjavne nie je možné, keďže hrany majú byť nezávislé.

V ostatných prípadoch (3, 9), (4, 8), (5, 7) a (6, 6) vieme (z vety 1.10), že komponenty  $G - S$  sú práve dva, a že sú kompletne. Teda stupeň vrcholu v  $B$  je aspoň 5, čo je v spore s tým, že  $G$  je 4-regulárny. Teda každý equimatchable faktorovo kritický graf na 15 vrchoch je 4-súvislý.

### **Prípád 2, $G$ má vrcholovú súvislosť 4.**

Graf  $G$  má teda aj 4-rez  $S$ . Prípady, kedy má menej ako 11 vrcholov sú pokryté v predchádzajúcom texte a teraz sa budeme zaoberať grafmi na 11, 13 a 15 vrchoch.

#### Grafy rádu 11.

Podľa veľkostí komponentov po odstránení rezu odlišíme nasledovné prípady (bez ujmy na všeobecnosti usporiadané podľa veľkosti): (1,6), (2,5) a (3,4).



- 11(2,5) Analogicky ako v časti pre 3-súvislé grafy s 3-rezom 11(2,6). Z podobných úvah dostaneme, že potrebujeme medzi množinami  $S$  a  $B$  získať 5 (ak vrcholy v  $A$  nesusedia) respektíve 6 (ak susedia) nezávislých hrán, čo je úplne vylúčené už len celkovým počtom vrcholov. Takýto graf neexistuje.
- 11(3,4) Počet vrcholov je väčší ako 9, takže z vety 1.10 okrem toho, že komponenty  $A$  a  $B$  sú súvislé, vyplýva aj, že  $A$  a  $B$  sú kompletne podgrafy  $G$ . Označme vrcholy komponentu  $A$  ako  $a_1, a_2$  a  $a_4$ , vrcholy  $B$  ako  $b_1$  až  $b_4$  a podobne vrcholy  $S$  ako  $v_1$  až  $v_4$ . V  $S$  sú presne 3 hrany, lebo v  $A$ , v  $B$ , medzi  $A$  a  $S$  a medzi  $B$  a  $S$  je spolu 19 hrán a celkovo má graf 22 hrán.

Existujú práve dva grafy na štyroch vrchoch obsahujúce tri hrany. Je to graf  $P_4$  (i) a graf  $K_3$  s jedným izolovaným vrcholom navyše (ii). Predpokladáme, že  $G$  nemá 3-rez, takže každý vrchol rezu  $S$  susedí aj s vrcholom z  $A$  aj s vrcholom z  $B$ . Na spôsobe prepojenia  $S$  a  $B$  nezáleží, pretože všetky možné prepojenia sú navzájom izomorfné. Teraz si rozoberme prípad (1): nech koncové vrcholy cesty v  $T$  sú  $v_1$  a  $v_4$ . Vieme, že  $v_1$  a  $v_4$  susedia s jedným spoločným vrcholom  $a_1$  z  $A$ . Ak je to ich jediný spoločný vrchol, tak nastáva situácia z obrázku 2.43, no tento graf nie je equimatchable. Bez ujmy na všeobecnosti nech  $v_1$  susedí s  $b_1$ . Vezmime si párenie  $M' = \{a_1a_2, v_2v_3, b_1b_2\}$ , ktoré izoluje vrchol  $v_1$ . Graf  $G - M' - v_1$  na štyroch vrchoch má vrchol stupňa 1, čiže graf  $G$  nespĺňa nutnú podmienku z vety 1.8, a teda takýto graf nemôže byť equimatchable faktorovo kritický. Teraz preskúmame prípad (2): Vrcholy  $v_1$  a  $v_4$  susedia s dvoma rovnakými vrcholmi ( $a_1$  a  $a_2$ ). Tým je celý graf určený ako je zakreslený na obrázku 2.44. Ani tento však nie je equimatchable faktorovo kritický, ako vidno na obrázku 2.45, kde odstránením červeného vrcholu a červeného párenia dostávame graf so štyrmi vrcholmi, ale len troma hranami, takže nespĺňa nutnú podmienku z vety 1.8. Teda nie je equimatchable faktorovo kritický.

### Grafy rádu 13.

- 13(2,7) Analogicky ako v časti pre 3-súvislé grafy s 3-rezom 13(2,8). Z podobných úvah dostaneme, že potrebujeme medzi množinami  $S$  a  $B$  získať 11 (ak vrcholy v  $A$  nesusedia) respektíve 12 (ak susedia) nezávislých hrán, čo je úplne vylúčené už len celkovým počtom vrcholov. Takýto graf neexistuje.

Prípady 13(3,6) a 13(4,5) podľa vety 1.10 majú kompletne podgrafy  $A$  a  $B$ , teda v prvom prípade sú v  $B$  vrcholy stupňa aspoň 5, čo je priveľa. V druhom prípade zo súvislosti dostaneme, že niektorý vrchol z  $B$  je stupňa 5. V oboch prípadoch, teda graf nie je regulárny, teda graf takýchto typov neexistuje.

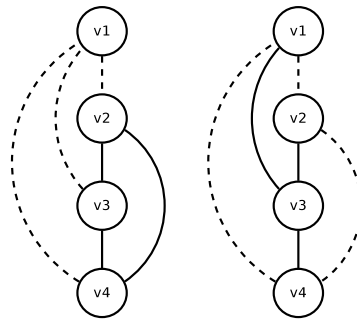
### Grafy rádu 15.

15(1,10) Z vety 1.12 vyplýva, že v  $G - S$  sú práve dva komponenty. Jeden pozostáva z jediného vrcholu  $v$ . Ten druhý komponent označme  $C$ . Ďalej vieme, že existuje párenie  $M$  medzi  $S$  a  $C$  pokrývajúce  $S$ . Teraz nech množina  $X = C \cap M$  a množina  $Y = C - X$ . Podľa vety 1.12 je podgraf induovaný na  $Y$  izomorfný s  $K_{3,3}$  (lebo  $K_6$  má priveľké stupne). Ak by  $X$  bol 4-rez v grafe  $G$ , tak dostávame prípad 15(5,6), ale ten nespadá do tohto prípadu a vyriešime ho neskôr. Predpokladajme teda, že  $X$  nie je rezom grafu  $G$ . Z toho vyplýva, že existuje hrana  $sy$  medzi nejakým vrcholom množiny  $S$  a nejakým vrcholom množiny  $Y$ . Teraz nech  $M'$  je párenie, ktoré dostaneme tak, že v  $M$  nahradíme hranu incidentnú s vrcholom  $s$  hranou  $sy$ . Označme vrchol  $X$  nepokrytý párením  $M'$  ako vrchol  $x$ . Ľahko vidno, že  $M'$  je izolujúce párenie vrcholu  $v$ , preto z vety 1.8 vyplýva, že podgraf  $G$  indukovaný na  $Y' = (Y - \{y\}) \cup \{x\}$  je izomorfný s  $K_{3,3}$ . Je zrejmé, že  $x$  susedí v  $Y'$  s rovnakými vrcholmi ako  $y$  v  $Y$ . Z toho vyplýva, že v  $Y'$  existujú dva vrcholy  $u, v$ , ktoré sú v spoločnej partícii s  $x$ , a ktoré susedia s niektorými dvoma vrcholmi z  $S \cup X$ . Teraz už ľahko nahliadneme, že  $\{u, v, s\}$  je 3-rez, ale predpokladali sme, že  $G$  je 4-súvislý, čo je spor. Takže takýto equimatchable graf neexistuje.

15(2,9) Analogicky ako v časti pre 3-súvislé grafy s 3-rezom 15(2,10). Z podobných úvah dostaneme, že potrebujeme medzi množinami  $S$  a  $B$  získať 19 (ak vrcholy v  $A$  nesusedia) respektíve 20 (ak susedia) nezávislých hrán, čo je úplne vylúčené už len celkovým počtom vrcholov. Takýto graf neexistuje.

V prípadoch 15(3,8), 15(4,7) a 15(5,6) sú v komponente  $B$  všetky vrcholy stupňa aspoň 5, čo je v spore s regularitou grafu, teda žiaden graf týchto typov nie je equimatchable faktorovo kritický.

Tým sme charakterizovali všetky možnosti okrem prípadov, kedy graf je 4-súvislý má 11, alebo 13 vrcholov a 4-rez, ktorý rozdeľuje graf na partície veľkostí (1, 6), respektíve (1, 8).

Obr. 2.6: Najväčší možný počet hrán v  $S$  pre prípad  $9v-t2$  (čiarkované hrany sú zakázané)

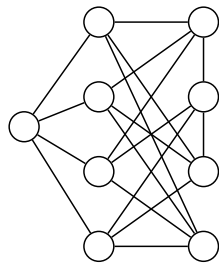
Všimnime si, že až na prípady, ktoré sme necharakterizovali, prešli výberom iba grafy rádu 9. Teraz je potrebné overiť, či sú tieto grafy, ktoré splnili vybrané nutné podmienky naozaj equimatchable. Najprv však ešte vylúčime tie, ktoré nie sú equimatchable priamo z definície. Z lemy 2.5 vieme, že všetky 4-regulárne grafy na 9 vrchoch majú všetky maximálne párenia veľkosti aspoň 3. Ak by sme v grafe našli trojicu nezávislých vrcholov  $N$ , pre ktorú  $G - N$  má perfektné párenie  $M'$ , tak  $M'$  by bolo maximálne párenie veľkosti 3, čo ale znamená, že graf nie je equimatchable. Ak by bol, tak nutne musel byť aj faktorovo kritický (veta 2.3), teda pre každý vrchol  $u$  by existovalo párenie veľkosti 4 vynechávajúce jedine  $u$ . Ale v equimatchable grafoch musia byť všetky maximálne párenia rovnakej veľkosti, čo je spor. Každú takúto množinu  $N$  v grafe  $G$  nazveme svedkom nerozšíriteľného párenia.

Grafy na obrázkoch	svedok
2.9 a 2.10	$\{v, v_5, v_6\}$
2.11	$\{v_1, v_2, v_8\}$
2.12 – 2.19	$\{v, v_5, v_7\}$
2.20 – 2.27	$\{v, v_5, v_8\}$
2.28 – 2.32	$\{v, v_6, v_7\}$
2.33 – 2.34	$\{v, v_6, v_8\}$
2.35 – 2.36	$\{v, v_5, v_7\}$
2.37	$\{v_2, v_4, v_8\}$
2.38	$\{v_2, v_4, v_7\}$
2.39	$\{v_1, v_4, v_7\}$
2.40	$\{v_2, v_4, v_5\}$

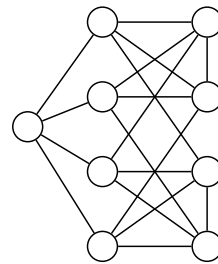
Z tabuľky vidno, že do úvahy už pripadajú jedine grafy z obrázkov 2.7, 2.8, 2.41, 2.42.

Okrem toho, vylúčime ešte aj 2.7, 2.8, lebo tieto obsahujú trojuholníky, čo znamená, že najmenšie izolujúce párenie v grafe určite nie je typu T1, teda tieto grafy sú pokryté v inom prípade.

□

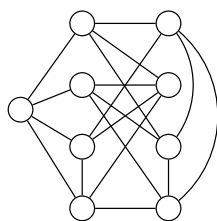


Obr. 2.7: 9-T1-a.

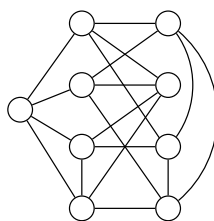


Obr. 2.8: 9-T1-b.

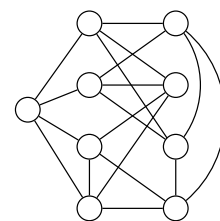
Graf na 9 vrcholoch s najmenším izolujúcim párením typu T1.



Obr. 2.9

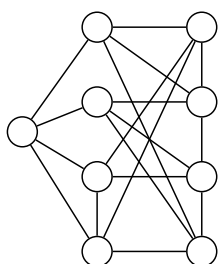


Obr. 2.10

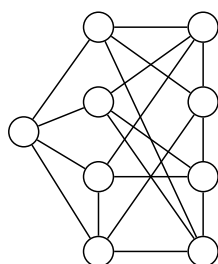


Obr. 2.11

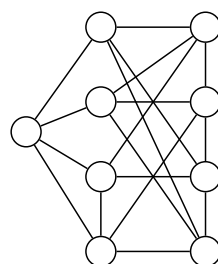
Tri možnosti na doplnenie grafu v prípade 9-T2-a-i- $\alpha$



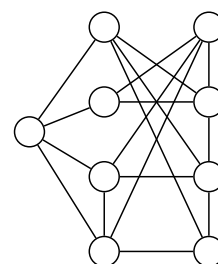
Obr. 2.12



Obr. 2.13

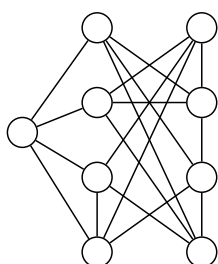


Obr. 2.14

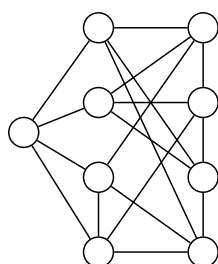


Obr. 2.15

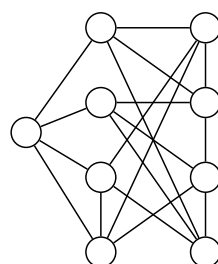
Možnosti na doplnenie grafu v prípade 9-T2-a-ii- $\alpha$



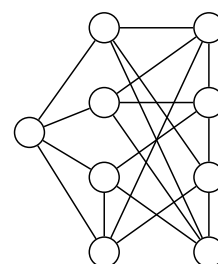
Obr. 2.16



Obr. 2.17

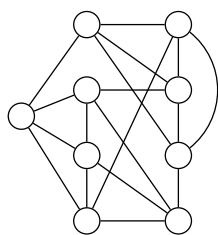


Obr. 2.18

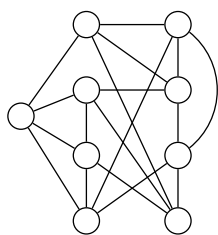


Obr. 2.19

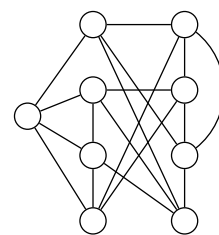
Možnosti na doplnenie grafu v prípade 9-T2-a-ii prípady  $\beta$  a  $\gamma$



Obr. 2.20

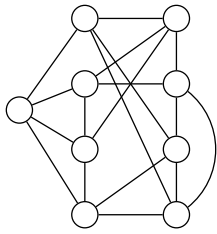


Obr. 2.21

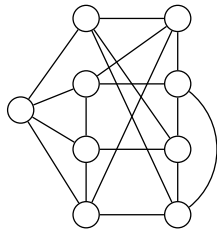


Obr. 2.22

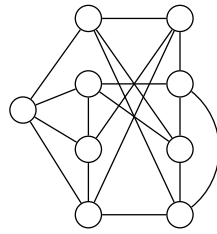
Tri možnosti na doplnenie grafu v prípade 9-T2-b-i



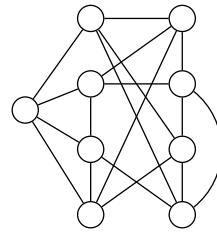
Obr. 2.23



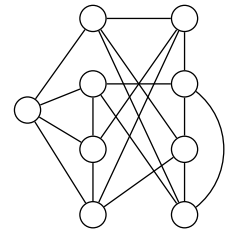
Obr. 2.24



Obr. 2.25

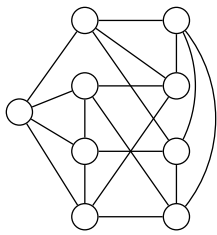


Obr. 2.26

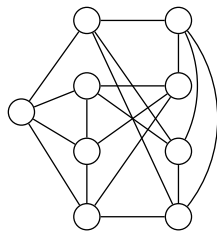


Obr. 2.27

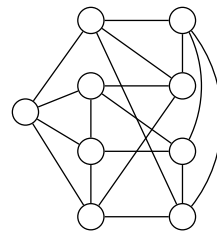
Päť možností na doplnenie grafu v prípade 9-T2-b-v



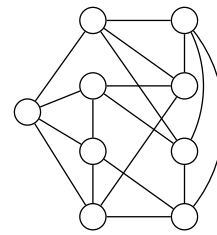
Obr. 2.28



Obr. 2.29

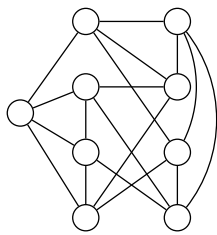


Obr. 2.30

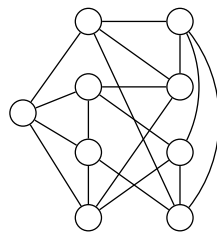


Obr. 2.31

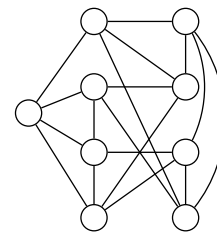
Možnosti na doplnenie grafu v prípade 9-T2-b-iv



Obr. 2.32

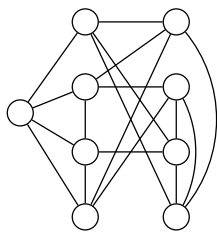


Obr. 2.33

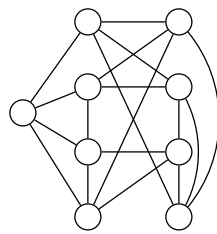


Obr. 2.34

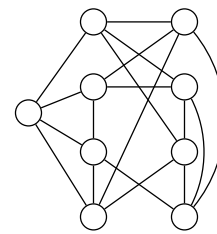
Možnosti na doplnenie grafu v prípade 9-T2-b-iv



Obr. 2.35

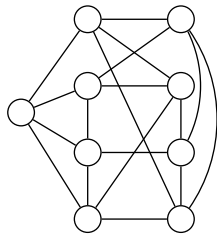


Obr. 2.36

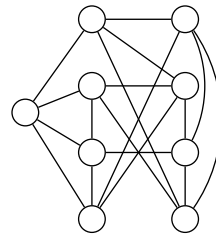


Obr. 2.37

Možnosti na doplnenie grafu v prípade 9-T2-b-vi

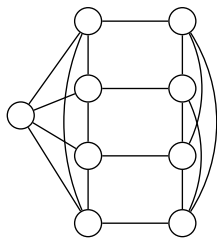


Obr. 2.38

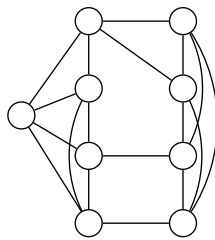


Obr. 2.39

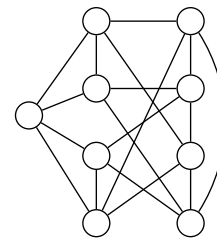
Možnosti na doplnenie grafu v prípade 9-T2-b-vii



Obr. 2.40

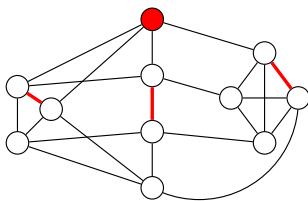


Obr. 2.41

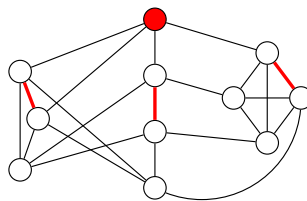


Obr. 2.42

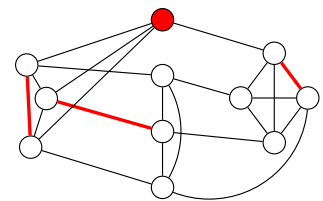
Možnosti na doplnenie grafu v prípade 9-T3



Obr. 2.43



Obr. 2.44



Obr. 2.45

Izolujúce párenia (červenou), ktoré ukazujú, že neexistuje equimatchable faktorovo kritický graf s 11 vrcholmi a 4-rezom.

# Kapitola 3

## Equimatchable tenzorové súčiny

V práci [Kov12] ukázali, že ak  $G$  a  $H$  sú súvislé grafy s aspoň dvomi vrcholmi, tak karteziánsky súčin  $G$  a  $H$  je equimatchable práve vtedy, keď  $G$  a  $H$  sú izomorfné s  $K_2$ . My sa v tejto kapitole sa zaoberáme otázkou, ktoré tenzorové súčiny sú equimatchable. Začneme ukázaním vlastností, ktoré hovoria o páreniach, súvislosti, bipartícite a obvodoch týchto grafov. Nakoniec ukážeme, že neexistuje súvislý equimatchable graf s obvodom aspoň 5, ktorý by bol tenzorovým súčinom.

### 3.1 Základné vlastnosti tenzorových súčinov

Tenzorový súčin, niekedy aj priamy súčin grafov je binárna operácia na grafoch.

**Definícia 3.1.** Tenzorový súčin označujeme  $G \times H$  a jeho množina vrcholov je  $V(G \times H) = V(G) \times V(H)$ , čiže vrchol súčinu je prvkom karteziánskeho súčinu množín vrcholov. Dva vrcholy  $(g_1, h_1)$  a  $(g_2, h_2)$  sú v  $G \times H$  spojené hranou práve vtedy, keď  $g_1 \sim_G g_2$  a súčasne  $h_1 \sim_H h_2$ .

Pri tenzorovom súčine nezáleží na poradí v akom grafy násobíme, teda je komutatívny. Tenzorový súčin jednoduchého grafu  $G$  s jednovrcholovým grafom bez hrán je izomorfný s grafom  $G$  bez hrán.

$$G \times (a, \emptyset) \cong (V(G), \emptyset)$$

Neutrálnym prvkom pre tenzorový súčin je graf  $N = (\{a\}, \{(a, a)\})$ , teda graf s jedným vrcholom so slučkou. Inak povedané, že pre všetky jednoduché grafy  $G$  platí, že  $G \times N \cong G$ .



$G$ . Tenzorový súčin budeme nazývať **netriviálnym**, akonáhle oba činitele obsahujú aspoň jednu hranu. Špeciálne súčin  $G \times K_2$  sa nazýva “bipartite double cover” grafu  $G$ .

## 3.2 Párenia v tenzorových súčinoch

Na úvod treba poznamenať, že tenzorový súčin sa vzhľadom na existenciu hrán v súčine správa monotónne, teda že ak pridáme hrany do činiteľov (a žiadne neodoberieme), tak zo súčiny žiadne hrany neubudnú. Dôkaz je ľahkým cvičením a dá sa priamo vidieť z definície tenzorového súčiny.

**Tvrdenie 3.2.** *Ak  $G$  a  $H$  sú grafy s perfektným párením, tak aj  $G \times H$  má perfektné párenie.*

**Dôkaz.** Uvažujme niektoré perfektné párenie grafu  $G$  a označme  $M_G$  graf pozostávajúci iba z hrán párenia. Rovnako uvažujme niektoré perfektné párenie grafu  $H$  a označme  $M_H$  graf pozostávajúci iba z hrán párenia. Ak nájdeme perfektné párenie v grafe  $M_G \times M_H$ , tak z monotonicity tenzorového súčiny vyplýva, že aj  $G \times H$  má perfektné párenie.

Vezmime si množinu hrán  $E = E(M_G \times M_H)$ . Ukážeme, že je perfektným párením na grafe  $G \times H$ . Najprv sa presvedčíme, že  $E$  pokrýva všetky vrcholy. Pre každý vrchol  $(g_1, h_1)$  grafu  $M_G \times M_H$  existuje vrchol  $(g_2, h_2)$ , pre ktorý platí, že  $g_1g_2 \in M_G$  a  $h_1h_2 \in M_H$ , lebo  $M_G$  a  $M_H$  sú perfektné párenia. Z toho vyplýva, že vrcholy  $(g_1, h_1)$  a  $(g_2, h_2)$  sú v grafe  $M_G \times M_H$  susedné. Teraz sa presvedčíme o tom, že graf  $M_G \times M_H$  neobsahuje závislé hrany. Ak ľubovoľný vrchol  $(g_1, h_1)$  susedí s dvoma rôznymi vrcholmi  $(g_2, h_2)$  a  $(g_3, h_3)$ , tak potom buď  $g_2 \neq g_3$ , alebo  $h_2 \neq h_3$ . Zvyšok dôkazu ukážmeme pre prípad  $g_2 \neq g_3$ , lebo druhý prípad je analogický. V grafe  $M_G$  sú teraz dve závislé hrany  $g_1g_2$  a  $g_1g_3$ , čo je v spore s nezávislosťou hrán v  $M_G$ . Teraz vieme, že  $E$  je perfektným párením  $M_G \times M_H$ , z toho však vyplýva, že  $E$  je perfektným párením grafu  $G \times H$ .  $\square$

Na predchádzajúci dôkaz sa pozeraj aj tak, že v súčine perfektných párení sa opakuje vzor  $K_2 \times K_2$  ako podgraf. Tento má perfektné párenie a pokrýva celý súčin  $M_G \times M_H$ .

Nie je ťažké vidieť, že na existenciu perfektného párenia v tenzorovom súčine nestačí aby mal jeden z činiteľov perfektné párenie. Príkladom je súčin  $P_4 \times P_3$ , ktorý perfektné párenie nemá, aj keď jeden z činiteľov perfektné párenie má. Ako však ukazuje

nasledujúca veta, pre regulárne činitele je existencia perfektného párenia v jednom z činiteľov postačujúca.

**Veta 3.3.** ([? ]) Nech  $G$  a  $H$  sú regulárne grafy s nenulovým stupňom. Ak aspoň jeden z nich má perfektné párenie, tak potom  $G \times H$  má perfektné párenie.

Z nasledujúcej vety zase vidno akú úlohu zohrávajú bipartitné grafy ako činitele v tenzorovom súčine.

**Veta 3.4.** (Veta 5.9 [HIK11]) Tenzorový súčin grafov je súvislý práve vtedy, ak sú oba činitele súvislé a aspoň jeden nie je bipartitný.

### 3.3 Tenzorové súčiny s obvodom aspoň 5

V tejto sekcii charakterizujeme všetky súvislé equimatchable tenzorové súčiny s obvodom aspoň 5. Využijeme na to charakterizáciu všetkých equimatchable grafov s obvodom aspoň 5, na ktorej vyslovenie budeme potrebovať nasledujúcu definíciu.

**Definícia 3.5.** Bipartitný graf s partíciami  $V_1$  a  $V_2$  takými, že všetky vrcholy  $V_1$  susedia s vrcholom stupňa 1 a zároveň sú všetky stupňa aspoň 2 budeme nazývať grafom **typu E**.

**Veta 3.6.** ([FHV10]) Graf s obvodom aspoň 5 je equimatchable práve vtedy, ak je to  $K_2$ ,  $C_5$ ,  $C_7$ , alebo graf typu E.

Najprv si všimnime, že žiaden z grafov  $K_2$ ,  $C_5$ ,  $C_7$  sa nedá dostať ako tenzorový súčin jednoduchých grafov. Zrejme  $K_2$  sa dá získať iba ako súčin  $K_2$  a jednovrcholového grafu so slučkou, ktoré ale neuvažujeme.

Taktiež je zřejmé, že žiadny graf s prvočíselným počtom vrcholov a aspoň jednou hranou sa nedá získať ako tenzorový súčin dvoch jednoduchých grafov. Naozaj, aby tenzorový súčin mal  $p$  vrcholov, kde  $p$  je prvočíslo, tak jeden z činiteľov musí mať práve 1 vrchol a druhý práve  $p$  vrcholov. Keďže však uvažujeme iba jednoduché grafy, jednovrcholový činiteľ neobsahuje žiadne hrany a preto taktiež výsledný súčin neobsahuje žiadne hrany.

**Lema 3.7.** Nech  $G$  a  $H$  sú jednoduché grafy. Potom  $G \times H$  obsahuje cyklus dĺžky  $n$  práve vtedy, keď existujú uzavreté sledy  $s, t$  v  $G$ , respektíve  $H$  s vrcholmi  $s_i$ , respektíve  $t_i$ , kde  $\forall i, j \in \{1, \dots, n-1\}$  platí, že  $(s_i, t_i) \neq (s_j, t_j)$ .

**Dôkaz.** Najprv dokážeme jednu implikáciu ( $\Rightarrow$ ): Predpokladajme, že  $G \times H$  obsahuje  $C_n$  ako podgraf. Teda existuje postupnosť  $n$  rôznych vrcholov  $(s_1, t_1)(s_2, t_2) \dots (s_n, t_n)$ , kde platí, že  $(s_n, t_n) \sim (s_1, t_1)$  a pre každé  $i \in \{1, \dots, n-1\}$ , kde platí  $(s_i, t_i) \sim (s_{i+1}, t_{i+1})$  pre každé  $i \in \{1, \dots, n-1\}$ . Z toho už vidno existenciu požadovaných sledov.

Teraz dokážeme druhú implikáciu ( $\Leftarrow$ ): Predpokladajme, že existujú uzavreté sledy  $s$  a  $t$  s vlastnosťou podľa znenia vety. Vieme, že v grafe  $G \times H$  existuje vrchol  $(s_i, t_i)$  pre každé  $i \in \{1, 2, \dots, n\}$ . Ďalej z definície tenzorového súčinu vieme, že máme v grafe vzťahy  $(s_i, t_i) \sim (s_{i+1}, t_{i+1})$  pre všetky  $i \in \{1, 2, \dots, n-1\}$  a ešte aj  $(s_n, t_n) \sim (s_1, t_1)$ . Keďže máme zaručenú vlastnosť, že zodpovedajúce dvojice vrcholov sú vždy po dvoch rôzne, tak v grafe  $G \times H$  máme  $C_n$  ako podgraf, čím je lema dokázaná.  $\square$

**Lema 3.8.** Nech  $G$  a  $H$  sú jednoduché grafy. Ak  $G$  a  $H$  obsahujú cykly dĺžky  $m$ , respektíve  $n$ , tak potom  $G \times H$  obsahuje cyklus dĺžky  $nsn(m, n)$ .

**Dôkaz.** Z lemy 3.7 vieme, že na dôkaz existencie  $C_{nsn(m, n)}$  stačí nájsť dva uzavreté sledy  $s, t$  dĺžky  $nsn(m, n)$  v ktorých sa neopakujú dvojice  $(s_i, t_i)$ . Pokúsime sa teda využiť informáciu o sledoch v  $G$  a  $H$  a skonštruovať nový sled v ktorom sa nebudú opakovať dvojice (až na prvú s poslednou). Cykly sú uzavreté sledy, v ktorých sa neopakujú vrcholy. Sled  $s$  získame niekoľkonásobným zopakovaním sledu získaného z cyklu  $C_m$ , bez posledného vrcholu (ten je totožný s prvým). Takisto  $t$  získame niekoľkonásobným zopakovaním sledu z  $C_n$  bez posledného vrcholu. Pokiaľ dĺžky oboch sledov sú  $nsn(m, n)$ , tak sa určite nezopakujú zodpovedajúce dvojice  $(s_i, t_i)$ . Ak by sa zopakovala dvojica na miestach  $i$  a  $j$ , tak môžeme vynechať celý blok  $i+1$  až  $j$ , čo by bolo v spore s tým, že dĺžka sledov bola najmenším spoločným násobkom, alebo sa museli zopakovať vrcholy v sledoch z cyklov, ale to zjavne nemohlo nastať. Na koniec sledov  $s$  a  $t$  teraz pridáme ešte  $s_1$ , respektíve  $t_1$ , čím ich uzatvoríme a získame v grafe  $G \times H$  cyklus  $C_{nsn(m, n)}$  ako podgraf.  $\square$

**Lema 3.9.** Nech  $G$  a  $H$  sú jednoduché grafy. Potom  $G \times H$  je bipartitný práve vtedy, keď aspoň jeden z  $G, H$  je bipartitný.

**Dôkaz.** Ukážeme najprv smer ( $\Rightarrow$ ): Dokážeme obmenenú implikáciu. Nech ani  $G$ , ani  $H$  nie sú bipartitné. To znamená, že obsahujú cyklus nepárnej dĺžky, ale podľa lemy 3.8 ich tenzorový súčin obsahuje cyklus dĺžky  $nsn(2k+1, 2l+1) = 2a+1$  pre nejaké  $a \geq 1$ , teda ani  $G \times H$  nie je bipartitný.

Bez ujmy na všeobecnosti nech  $G$  je bipartitný graf s partíciami  $A_G$  a  $B_G$ . Pre dokázanie

smeru ( $\Leftarrow$ ) stačí zobrať množiny  $A, A^c$ , kde  $A = \{(x, y) \in V(G \times H), x \in A_G\}$ . Je ľahko vidno, že tieto tvoria partície grafu  $G \times H$ .  $\square$

**Lema 3.10.** Nech  $G$  a  $H$  sú jednoduché grafy. Potom  $G \times H$  obsahuje  $K_3$  práve vtedy, keď  $G$  aj  $H$  obsahujú  $K_3$ .

**Dôkaz.** Spätná implikácia ( $\Leftarrow$ ) vyplýva z lemy 3.8. V dôkaze implikácie ( $\Rightarrow$ ) sa pozrieme na trojuholník v súčine a pokúsime sa ho faktorizovať. Tento trojuholník sa skladá z vrcholov  $ax, by$  a  $cz$  kde  $a, b, c \in V(G)$  a  $x, y, z \in V(H)$ . Vrcholy  $a, b, c$  sú rôzne, lebo pre každú dvojicu vrcholov existuje hrana, ktorá ich spája a v  $G$  nemáme slučky. To ale znamená, že  $a, b$  a  $c$  tvoria trojuholník v  $G$ . Existencia trojuholníka v  $H$  sa ukáže analogicky.  $\square$

**Lema 3.11.** Tenzorový súčin jednoduchých grafov  $G$  a  $H$  obsahuje  $C_4$  ako podgraf práve vtedy, keď oba činitele obsahujú  $P_3$  ako podgraf, alebo keď jeden z nich obsahuje  $C_4$  ako podgraf a druhý obsahuje aspoň jednu hranu.

**Dôkaz.** Spätná implikácia je zjavná. Stačí si zobrať jednotlivé súčiny a overiť, že sa v nich nachádza  $C_4$  ako podgraf. Teraz vychádzame z predpokladu, že v grafe  $G \times H$  je  $C_4$  ako podgraf. Z definície tenzorového súčinu vieme, že hrana  $(ax)(by)$  sa v  $G$  nachádza práve vtedy, keď  $a \sim_G b$  a súčasne  $x \sim_H y$ . Povedzme, že vrcholy, ktoré tvoria  $C_4$  v  $G \times H$  sú  $(a, x), (b, y), (c, z)$  a  $(d, w)$ . V každom z grafov  $G$  a  $H$  je aspoň jedna hrana. Z tabuľky na obrázku 3.1 totiž vidno (a tiež preto, že pracujeme s grafmi bez slučiek), že  $a \neq b$  a tiež, že  $x \neq y$ .

$G$	$H$
$a \sim b$	$x \sim y$
$b \sim c$	$y \sim z$
$c \sim d$	$z \sim w$
$d \sim a$	$w \sim x$

Obr. 3.1: Vlastnosti  $G$  a  $H$

Premenné  $a, b, c$  a  $d$  označujú nie nutne rôzne vrcholy. Preto sa pozrieme na štyri prípady čo môžu nastať. V prípade, kedy  $|\{a, b, c, d\}| = 4$ , teda každý vrchol je iný dostávame, že v  $G$  je  $C_4$  ako podgraf. Ak  $|\{a, b, c, d\}| = 3$ , dostávame ako jedinou možnosť, že  $b = d$ , teda graf  $P_3$  ako podgraf. Ak  $|\{a, b, c, d\}| = 2$ , tak  $a = c$  a súčasne  $b = d$ , čo značí, že v  $G$  je  $K_2$  ako podgraf. Posledný prípad, kedy  $|\{a, b, c, d\}| = 1$  nenastáva, lebo  $a \neq b$ .

Z toho vidno, že  $G$  teraz musí obsahovať niektorý z grafov  $C_4, P_3$ , alebo  $K_2$ . Tieto vlastnosti rovnako platia aj pre  $H$  a dôkaz je totožný až na pomenovanie vrcholov. Ľahko vidno, že  $K_2 \times K_2$  ani  $K_2 \times P_3$  neobsahujú  $C_4$ .  $K_2 \times C_4$  už ale  $C_4$  obsahuje. Pri súčine  $P_3 \times P_3$  už tiež dostávame  $C_4$  ako podgraf, čím je lema dokázaná.  $\square$

Dôsledkom tejto vety je, že akonáhle oba činitele obsahujú dve susedné hrany, už ich súčin obsahuje  $C_4$  ako podgraf. V časti, kde sa zaoberáme výlučne grafmi s obvodom aspoň 5 táto vlastnosť vylúčila veľkú časť možností. Konkrétne, ak chceme získať súčin s obvodom aspoň 5 na viac ako 4 vrchoch, jedným z činiteľov bude musieť byť  $K_2$ .

**Lema 3.12.** Ak jednoduché grafy  $G$  a  $H$  obsahujú  $k$ , respektíve  $l$  komponentov, tak potom  $G \times H$  pozostáva z najmenej  $k.l$  komponentov. Ostrá nerovnosť nastáva, ak  $G$  aj  $H$  obsahujú bipartitný komponent.

**Dôkaz.** Definujeme nasledovnú reláciu.

$$ax \sim bz \iff (\exists a\text{-}b\text{-cesta v } G) \wedge (\exists x\text{-}z\text{-cesta v } H)$$

Je to relácia ekvivalencie, ktorá vytvorí  $k.l$  tried ekvivalencie, ktoré zodpovedajú dvojiciam pôvodých komponentov. Každá trieda je množina vrcholov nezávislá od ostatných tried, teda buď tvorí jeden komponent, alebo dva ak prislúchajúce komponenty z  $G$  a  $H$  boli bipartitné (Lema 3.4).  $\square$

**Veta 3.13.** Nech  $T$  je netriviálny súvislý graf s obvodom aspoň 5, ktorý je tenzorovým súčinom dvoch jednoduchých grafov. Potom graf  $T$  nie je equimatchable.

**Dôkaz.** Ak má byť graf  $T = G \times H$  obvodu aspoň 5, tak z lemy 3.11 vieme, že nesmú oba činitele súčasne obsahovať  $P_3$  ako podgraf, lebo súčin by obsahoval  $C_4$  ako podgraf. Po zvyšok dôkazu budeme predpokladať, že činitele sú súvislé grafy, lebo z lemy 3.12 vieme, že ak čo i len jeden z činiteľov nie je súvislý, tak ani súčin nie je súvislý. Súčin s počtom vrcholov 2 neexistuje. Najprv treba pripomenúť, že uvažujeme iba jednoduché grafy. Preto ak jeden z činiteľov má iba jeden vrchol, tento činiteľ neobsahuje hrany a neexistuje súvislý súčin na menej ako 4 vrchoch. Súčin s počtom vrcholov 4 je len jeden a to  $K_2 \times K_2$  a ten nie je súvislý. Ak chceme súčin s väčším počtom vrcholov, taký, čo bude mať obvod aspoň 5, tak nesmú oba grafy obsahovať dve susedné hrany. Ak má byť  $G$  súvislý a neobsahovať dve susedné hrany, tak má najviac jednu hranu. Bez ujmy na všeobecnosti, nech teda  $G = K_2$ . Ďalej vieme, že hľadaný graf je súvislý, to znamená že keď už  $G$  je  $K_2$ , tak  $H$  nemôže byť bipartitný (z lemy 3.4). Pripomíname, že  $T = K_2 \times H$  je bipartitný graf (lema 3.9). Cieľom je získať graf typu  $E$ , teda nás

zaujímajú listy, ktoré dostaneme v takomto súčine. Partícia listu v tenzorovom súčine je určená partíciou listu z  $K_2$ . Preto je listov v oboch partíciách súčinu rovnako veľa, a tak nevieme nikdy dostať graf typu E, lebo ten v jednej partícii nemá žiadne listy.  $\square$

Nasledujúce tvrdenie je zrejmé.

**Tvrdenie 3.14.** *Nech  $G$  je bipartitný graf. Potom  $K_2 \times G$  pozostáva z dvoch disjunktných kópií grafu  $G$ .*

**Tvrdenie 3.15.** *Existuje nekonečne veľa equimatchable grafov, ktoré sú netriviálnym tenzorovým súčinom dvoch jednoduchých grafov.*

**Dôkaz.** Grafov typu E je nekonečne veľa. Nech  $E$  je graf typu E. Z predchádzajúceho tvrdenia 3.15 vidíme, že  $K_2 \times E$  je nesúvislý graf, ktorý pozostáva z dvoch kópií grafu  $E$ , a ktorý je tým pádom podľa vety 3.6 equimatchable. Keďže súčin “kopíruje” graf  $E$ , tak máme zaručené, že aj súčinov bude nekonečne veľa.  $\square$

# Záver

Predložená práca sa zaoberá vlastnosťami najväčších párení grafov, konkrétne otázkou, v ktorých grafoch je každé párenie obsiahnuté v niektorom najväčšom párení - takéto grafy sa nazývajú equimatchable. Hlavným cieľom práce je klasifikácia všetkých equimatchable grafov v dvoch konkrétnych triedach a to regulárnych grafov a tenzorových súčinov.

V oblasti regulárnych equimatchable grafov nadviažeme na charakterizáciu 3-regulárnych equimatchable grafov z [KPS03], kde je ukázané, že takéto grafy sú iba  $K_4$  a  $K_{3,3}$ . V tejto práci sme ukázali, že ak  $G$  je  $k$ -regulárny equimatchable graf pre  $k$  nepárne, tak je izomorfný s  $K_{k+1}$ , alebo  $K_{k,k}$ . Ďalej sme ukázali, že ak je stupeň regularity  $k$  párny, tak graf  $G$  je izomorfný s  $K_{k+1}$ ,  $K_{k,k}$ , alebo je faktorovo-kritický. Na základe toho sa nám podarilo dokázať, že  $k$ -regulárnych equimatchable grafov pre pevne zvolené  $k$  je iba konečne veľa. Na záver tejto časti sme sa zamerali na 4-regulárne equimatchable grafy, kde sa nám podarilo charakterizovať všetky 3-súvislé 4-regulárne equimatchable grafy okrem prípadu, keď má 11, alebo 13 vrcholov a neobsahuje netriviálny 4-rez.

V prípade tenzorových súčinov sme ukázali, že neexistuje netriviálny súvislý tenzorový súčin s obvodom aspoň 5. Na druhej strane, existuje nekonečne veľa netriviálnych equimatchable tenzorových súčinov.

Otvorenými ostávajú otázky charakterizácie 4-regulárnych equimatchable grafov aj v zostávajúcich prípadoch, prípadne všetkých páрно-regulárnych equimatchable grafov.

Ďalším otvoreným problémom je charakterizácia všetkých equimatchable tenzorových súčinov, ktorá sa v súčasnosti zdá byť za rámcom možností existujúcich techník.

# Literatúra

- [AG90] B. Alspach and J. C. George. One-factorizations of tensor products of graphs. In *Topics in Combinatorics and Graph Theory*, pages 41–46. Springer, 1990.
- [BWYY10] B. Bai, Z. Wu, X. Yang, and Q. Yu. Lexicographic product of extendable graphs. *Bulletin of the Malaysian Mathematical Sciences Society*, 33(2):197–204, 2010.
- [Die00] R. Diestel. *Graph Theory*, volume 173 of *Graduate Texts in Mathematics*. Springer-Verlag, Heidelberg, second edition, 2000.
- [Eib14] E. Eiben. Equimatchable graphs on surfaces. Master’s thesis, Fakulta Matematiky, Fyziky a Informatiky Univerzity Komenského, Bratislava, 2014.
- [EK13] E. Eiben and M. Kotrbčík. *2-connected equimatchable graphs on surfaces*, 2013. <http://arxiv.org/abs/1312.3423>.
- [Fav86] O. Favaron. Equimatchable factor-critical graphs. *Journal of graph theory*, 10(4):439–448, 1986.
- [FHV10] A. Frendrup, B. Hartnell, and P. D. Vestergaard. A note on equimatchable graphs. *Australasian Journal of Combinatorics*, 46:185–190, 2010.
- [Grü74] B. Grünbaum. Matchings in polytopal graphs. *Networks*, 4(2):175–190, 1974.
- [HIK11] R. Hammack, W. Imrich, and S. Klavžar. *Handbook of Product Graphs, Second Edition*. Discrete Mathematics and Its Applications. Taylor & Francis, 2011.
- [IKR08] W. Imrich, S. Klavžar, and D. Rall. *Topics in Graph Theory - Graphs and Their Cartesian Product*. IEEE, 2008.



- [Kov12] J. Kováč. *Rozšířitelnost páření na grafoch, Diplomová práca*. Fakulta Matematiky, Fyziky a Informatiky Univerzity Komenského, Bratislava, 2012.
- [KPS03] K. Kawarabayashi, M. D. Plummer, and A. Saito. On two equimatchable graph classes. *Discrete Math.*, 266(1-3):263–274, May 2003.
- [Lew74] Mordechai Lewin. Matching-perfect and cover-perfect graphs. *Israel Journal of Mathematics*, 18(4):345–347, 1974.
- [LP86] L. Lovász and M. D. Plummer. *Matching Theory*. Number 121 in Annals of discrete mathematics. Elsevier Science, 1986.
- [LPP84] M. Lesk, M. D. Plummer, and W. R. Pulleyblank. Equi-matchable graphs. *Graph theory and combinatorics*, pp. 239–254, 1984.
- [LY09] G. Liu and Q. Yu. *Graph factors and matching extensions*. Higher Education Press Beijing, 2009.
- [Men74] Daniel Huang-Chao Meng. *Matchings and coverings for graphs*. PhD thesis, Michigan State University. Department of Mathematics, 1974.
- [MV80] S. Micali and V. V. Vazirani. *An  $O(\sqrt{|V|}E)$  Algorithm For Finding Maximum Matching in General Graphs*. University of California, Berkeley, 1980. Proceedings of 21st Annual Symposium of Foundations of Computer Science.
- [Plu80] M. D. Plummer. *On  $n$ -Extendable Graphs*. Department of Mathematics, Vanderbilt University, Nashville, TN 37235, USA, 1980. Technical report.
- [Sum79] D. P. Sumner. Randomly matchable graphs. *Journal of Graph Theory*, 3(2):183–186, 1979.
- [WYY12] Z. Wu, X. Yang, and Q. Yu. On cartesian product of factor-critical graphs. *Graphs and Combinatorics*, 28:723–736, 2012.